

การสร้างชุดทดลองอุปกรณ์วิจัยจรวดเตอร์ลิง

Design of Stirling Engine Prototype



ปริญญา呢ินธ์นีเป็นส่วนหนึ่งของการศึกษาตามหลักสูตรปริญญาวิศวกรรมศาสตรบัณฑิต

สาขาวิศวกรรมเครื่องกล ภาควิชาวิศวกรรมเครื่องกล

คณะวิศวกรรมศาสตร์ มหาวิทยาลัยนเรศวร

ปีการศึกษา 2551



ใบรับรองโครงการ

หัวข้อโครงการ

: การสร้างชุดทดลองอุปกรณ์วิถีจักรสเทอร์ลิง

(Design of Stirling Engine Prototype)

ผู้ดำเนินโครงการ

: นายยงค์ แก้วเกิด

รหัสนิสิต 48360885

นายศิวะรอนน พายพัตร

รหัสนิสิต 48361141

นายศุภชัย ชุมนุนวัฒน

รหัสนิสิต 48361158

อาจารย์ที่ปรึกษาโครงการ : ดร.อนันต์ชัย อุย়েแก้ว

ภาควิชา : วิศวกรรมเครื่องกล

ปีการศึกษา : 2551

คณะวิศวกรรมศาสตร์ มหาวิทยาลัยราชภัฏ อนุมัติให้โครงการฉบับนี้เป็นส่วนหนึ่งของการศึกษาตามหลักสูตร วิศวกรรมศาสตรบัณฑิต สาขาวิศวกรรมเครื่องกล

คณะกรรมการสอนโครงการ

.....ประธานกรรมการ

ดร.อนันต์ชัย อุย়েแก้ว

.....กรรมการ
ผศ.ดร.กุลชา กุนกานธุวิจิตร

.....กรรมการ
อ.ปองพันธ์ ไออุคานนท์

หัวข้อโครงการ	: การสร้างชุดทดลองอุปกรณ์วิถีจักรสเตอร์ลิง (Design of Stirling Engine Prototype)		
ผู้ดำเนินโครงการ	: นายบรศักดิ์ แก้วเกิด	รหัสนิสิต 48360885	
	นายศิวโรจน์ พายพัตร	รหัสนิสิต 48361141	
	นายศุภชัย ชุมนุนวัฒน์	รหัสนิสิต 48361158	
อาจารย์ที่ปรึกษาโครงการ	: ดร.อนันต์ชัย อู่แก้ว		
ภาควิชา	: วิศวกรรมเครื่องกล		
ปีการศึกษา	: 2551		

บทคัดย่อ

โครงการนี้เป็นการศึกษา กระบวนการทำงานของอุปกรณ์วิถีจักรประเภทสเตอร์ลิงและประดิษฐ์ชุดทดลองอุปกรณ์วิถีจักรสเตอร์ลิงแบบแอลfa (alpha stirling engine) ซึ่งเครื่องยนต์สเตอร์ลิงประเภทนี้เป็นเครื่องยนต์ชนิดสันดาปภายนอก (external combustion) โดยใช้ก๊าซธรรมชาติให้ความร้อนแก่เครื่องยนต์และให้อากาศเป็นของไหลดทำงานและไม่ใช้ตัวกักเก็บความร้อน (regenerator) ตัวแปรในการทดลองจะถูกวัดโดยวิธีการวัดอุณหภูมิและการวัดความเร็วอบจากการทดลองพบว่า เมื่อให้ความร้อนจนถึงอุณหภูมนี้กับเครื่องยนต์สเตอร์ลิง เพลาของเครื่องยนต์จะทำการหันนูนอย่างต่อเนื่องและส่วนความเร็วอบของเครื่องยนต์จะมีแนวโน้มลดลงเล็กน้อย โดยมีค่าความเร็วอบระหว่าง 52-57 รอบต่อนาทีและประสิทธิภาพทางความร้อนของเครื่องยนต์มีค่าประมาณ 14 เปอร์เซ็นต์ โดยวิถีจักรสเตอร์ลิงเป็นวิถีจักรแบบผันกลับได้ เช่นเดียวกับวิถีจักรการ์โนต์ ซึ่งไม่มีการสูญเสียงานที่เกิดจากแรงเสียดทานและการถ่ายเทความร้อน

คำสำคัญ : วิถีจักรสเตอร์ลิง, เครื่องจักรความร้อน, ประสิทธิภาพทางความร้อน,
ตัวกักเก็บความร้อน

Project Title	: Design of Stirling Engine Prototype	
Name	: Mr.Khajornsak Kaewkard	ID Code 48360885
	: Mr.Siwaroth Paypat	ID Code 48361141
	: Mr.Suppachai Chumnumwat	ID Code 48361158
Project Advisor	: Dr.Ananchai U-kaew	
Department	: Mechanical Engineering	
Academic Year	: 2008	

Abstract

This project consists of design and modeling of alpha type stirling engine. Combustion of this type of engine is an external one. In the experiment, we employed natural gas as the heat source and use air as the working fluid, without inserting regenerator element. Experiments were conducted by means of temperature and rotation speed measurement. As a result, when the engine receives heat and reaches a certain temperature, the shaft rotates continuously at range of speed around 52-57 rpm. From calculation, the thermal efficiency of the stirling engine is found to be ideally approximately 14 percent. Stirling cycle is reversible, as is the Carnot cycle, which no heat transfer and no friction or other.

Keywords : Stirling cycle, heat engine, thermal efficiency, regenerator

กิตติกรรมประกาศ

โครงการสร้างชุดทดลองอุปกรณ์วัสดุจัดสรสเทอร์ลิง (Design of Stirling Engine Prototype) สำเร็จลุล่วงไปได้ด้วยดี โดยได้รับความร่วมมือและสนับสนุนจากหลายฝ่ายด้วยกัน ดังนี้

1. ดร.อนันต์รัช อยู่แก้ว อาจารย์ที่ปรึกษาโครงการ
2. อ.ทศวรรษ อินกาวงศ์ อาจารย์ประจำภาควิชาฟิสิกส์
3. ภาควิชาวิศวกรรมเครื่องกล มหาวิทยาลัยนเรศวร
4. ภาควิชาฟิสิกส์ มหาวิทยาลัยนเรศวร

ขอกราบขอบพระคุณบิคานาราม ที่เคยสนับสนุนและเป็นกำลังใจแก่ผู้ดำเนินโครงการอย่างสมม่ำเสมอตลอดมา

และบุกคลอื่นๆ ที่ไม่ได้กล่าวนามทุกท่านที่ได้ให้คำแนะนำ ช่วยเหลือในงานวิจัยครั้งนี้ ตลอดจนให้การศูแลและให้ประสบการณ์เกี่ยวกับการทำงาน ข้าพเจ้าขอขอบคุณไว้ ณ ที่นี่ คณะผู้จัดทำ หวังเป็นอย่างยิ่งว่าปริญญานิพนธ์ฉบับนี้จะเป็นประโยชน์ต่อท่านผู้สนใจ ได้ในระดับหนึ่งตลอดจนเป็นแนวทางในการศึกษาและพัฒนาต่อไป

ขอศักดิ์ แก้วเกิด^๑
ศิริโจน์ พายพัตร
ศุภชัย ชุมนุมวัฒน์

สารบัญ

	หน้า
ใบรับรองโครงการ	ก
บทคัดย่อ	ข
Abstract	ค
กิตติกรรมประกาศ	ง
สารบัญ	จ
สารบัญตาราง	ช
สารบัญรูปภาพ	ซ
ลำดับสัญลักษณ์	ญ
บทที่ 1 บทนำ	
1.1 ที่มาและความสำคัญของโครงการ	1
1.2 วัตถุประสงค์	1
1.3 ขอบเขตของโครงการ	2
1.4 ระยะเวลาการดำเนินงาน	2
1.5 ประโยชน์ที่คาดว่าจะได้รับ	2
1.6 งบประมาณ	3
บทที่ 2 หลักการและทฤษฎี	
2.1 ลักษณะโดยทั่วไปของเครื่องจักรความร้อน	4
2.2 ประวัติความคืบหน้าที่ 2 ของเทอร์โน่ไคนามิกส์	5
2.3 ลักษณะของเครื่องยนต์สเตอร์ลิง	7
2.4 หลักการทำงานของเครื่องยนต์สเตอร์ลิง	12
บทที่ 3 วิธีการดำเนินโครงการและการออกแบบ	
3.1 การออกแบบเครื่องยนต์สเตอร์ลิง	18
3.2 วัสดุอุปกรณ์	19
3.3 การเตรียมชิ้นงาน	20
3.4 ขั้นตอนการประกอบชิ้นงาน	22
3.5 ขั้นตอนการทดสอบเครื่อง	25

สารบัญ (ต่อ)

หน้า

บทที่ 4 ผลการทดลอง

4.1 ความสัมพันธ์ระหว่างตัวแปรกับเวลา	27
4.2 ผลการคำนวณประสิทธิภาพทางความร้อนของเครื่องบนตู้สเตอร์ลิง	30

บทที่ 5 วิเคราะห์และสรุปผลการทดลอง

5.1 วิเคราะห์ผลการทดลอง	32
5.2 แนวทางการทำวิจัยในอนาคต	33
5.3 สรุปการทดลอง	35
5.4 ข้อเสนอแนะทางเทคนิค	35

บรรณานุกรม

ภาคผนวก	37
ภาคผนวก ก ผลการทดลอง	39
ภาคผนวก ข ตารางค่าความร้อน	42
ภาคผนวก ค การอ Eckmann	45
ประวัติผู้จัดทำโครงการ	49

สารบัญตาราง

	หน้า
ตารางที่ 1.1 ตารางระยะเวลาการดำเนินงาน	2
ตารางที่ 3.1 ข้อกำหนดในการทดลอง	26
ตารางที่ 4.1 ผลการทดลองเฉลี่ย	30
ตารางที่ 4.2 ประสิทธิภาพทางความร้อน	31
ตารางที่ 5.1 การเปรียบเทียบค่าพลังงานความร้อนของพลังงานชีวมวล	33
ตารางที่ 5.2 การเปรียบเทียบค่าใช้จ่ายเมื่อค่าพลังงานความร้อนเท่ากัน	34



สารบัญรูปภาพ

	หน้า
รูปที่ 2.1 แสดงการเปลี่ยนพลังงานความร้อน ไปเป็นงาน และมีการถ่ายโอนความร้อน เกิดขึ้นในเครื่องจักรความร้อน	6
รูปที่ 2.2 แสดงลำดับการเคลื่อนที่แบบอุณหติของอุกสูบทั้ง 2 ตัวในเครื่องยนต์แอลฟ่า (alpha engine)	7
รูปที่ 2.3 แสดงลำดับการเคลื่อนที่แบบอุณหติของอุกสูบและตัวแทนที่ในเครื่องยนต์เบต้า (beta engine)	8
รูปที่ 2.4 แสดงลำดับการเคลื่อนที่แบบอุณหติของอุกสูบและตัวแทนที่ในเครื่องยนต์แคมมา (gamma engine)	9
รูปที่ 2.5 แผนภาพ T-S diagram ของวัฏจักรสเตอร์ลิง	11
รูปที่ 2.6 แผนภาพ P-V diagram ของวัฏจักรสเตอร์ลิง	11
รูปที่ 2.7 แสดงวัฏจักรสเตอร์ลิง	12
รูปที่ 2.8 (a) แสดงคำແນ່ງของอุกสูบ	13
รูปที่ 2.8 (b) แผนภาพ P-V ของกระบวนการอัดตัวที่อุณหภูมิกังหัน	13
รูปที่ 2.9 (a) แสดงคำແນ່ງของอุกสูบ	14
รูปที่ 2.9 (b) แผนภาพ PV ของกระบวนการให้ความร้อนคงที่	14
รูปที่ 2.10 (a) แสดงคำແນ່ງของอุกสูบ	15
รูปที่ 2.10 (b) แผนภาพ PV ของกระบวนการขยายตัวที่อุณหภูมิกังหัน	15
รูปที่ 2.11 (a) แสดงคำແນ່ງของอุกสูบ	16
รูปที่ 2.11 (b) แผนภาพ PV ของกระบวนการดักความร้อนที่ปริมาตรคงที่	16
รูปที่ 3.1 ส่วนประกอบที่สำคัญของเครื่องยนต์สเตอร์ลิง	18
รูปที่ 3.2 การออกแบบโครงไม้	20
รูปที่ 3.3 แสดงการวัดขนาดชิ้นงาน	20
รูปที่ 3.4 แสดงการตัดชิ้นงาน	21
รูปที่ 3.5 แสดงการตัดชิ้นงาน	21
รูปที่ 3.6 แสดงการเจาะรูชิ้นงาน	22
รูปที่ 3.7 ส่วนประกอบโครงไม้	22
รูปที่ 3.8 ส่วนประกอบห่อทองแดง	23

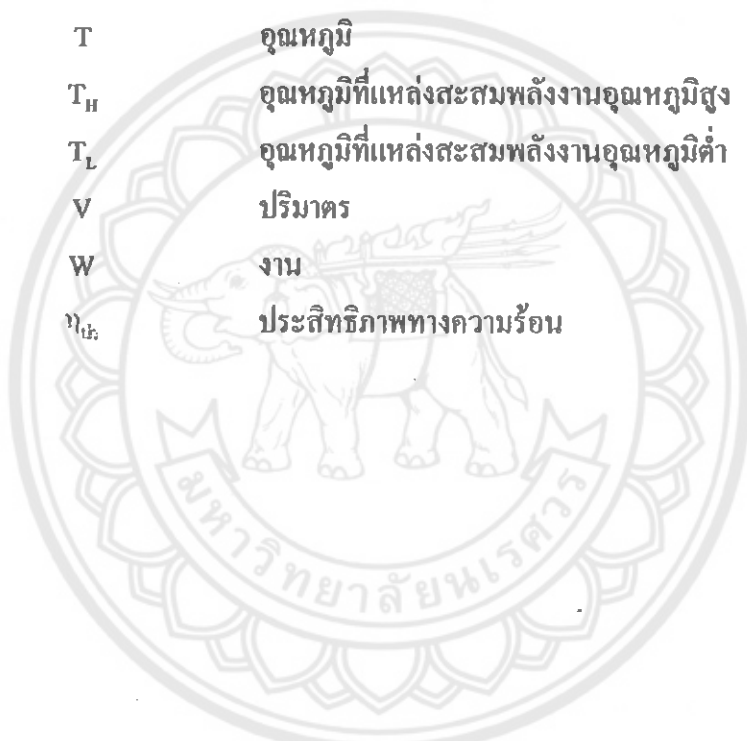
สารบัญรูปภาพ (ต่อ)

	หน้า
รูปที่ 3.9 การประกอบลูกสูบกับก้านสูบ	23
รูปที่ 3.10 การออกแบบต้องช่วยแรง	24
รูปที่ 3.11 เพลาเหล็กวงกลม	24
รูปที่ 3.12 เครื่องชนต์สเตอร์ลิงที่ประดิษฐ์ได้จริง	25
รูปที่ 4.1 ความสัมพันธ์ระหว่างเวลาและความเร็วอน	27
รูปที่ 4.2 ความสัมพันธ์ระหว่างเวลาและอุณหภูมิกระบวนการอกสูบกำลัง (T_h)	28
รูปที่ 4.3 ความสัมพันธ์ระหว่างเวลาและอุณหภูมิกระบวนการอกสูบໄล' (T_l)	28
รูปที่ 4.4 ความสัมพันธ์ระหว่างเวลาและผลต่างของอุณหภูมิ ($T_h - T_l$)	29
รูปที่ 4.5 ค่าเฉลี่ยของความสัมพันธ์ระหว่างผลต่างของอุณหภูมิและความเร็วอน	29
รูปที่ 4.6 แผนภาพ T – S diagram ของผลการทดลองเฉลี่ยโดยประมาณ	31



តាមដំណឹងសញ្ញាណកម្មវិធី

សញ្ញាណកម្មវិធី	គ្រាមអនាយក	អនុវត្ត
P	គ្រាមគំនើន	Pa
Q_H	ແຫៈງតម្លៃសមរលេខាការណ៍រៀនទុកក្នុងក្នុងក្នុងក្នុង	J/s, watt
Q_L	ແຫៈງតម្លៃសមរលេខាការណ៍រៀនទុកក្នុងក្នុងក្នុងក្នុង	J/s, watt
S	ការងារ	kJ/kg
T	ទុកក្នុង	K
T_H	ទុកក្នុងនីរធម៌ແຫៈງតម្លៃសមរលេខាការណ៍រៀនទុកក្នុងក្នុងក្នុង	K
T_L	ទុកក្នុងនីរធម៌ແຫៈງតម្លៃសមរលេខាការណ៍រៀនទុកក្នុងក្នុងក្នុង	K
V	បរិមាណ	m^3
W	ការងារ	J
η_{th}	ភារមិភាពការងាររៀនទុក	-



บทที่ 1

บทนำ

1.1 ที่มาและความสำคัญของโครงการ

ในปัจจุบันพลังงานเป็นสิ่งสำคัญต่อการดำเนินชีวิตและมีความต้องการเพิ่มมากขึ้น จึงทำให้แหล่งพลังงานจากฟอสซิลที่จะนำมาเปลี่ยนเป็นพลังงานเชื้อเพลิงทดแทนอย่าง ดังนั้นจึงมีการกันไฟแหล่งพลังงานทดแทนขึ้นมา เช่น พลังงานแสงอาทิตย์ พลังงานลม พลังงานชีวนิวต์ พลังงานความร้อน เป็นต้น เพื่อนำมาทดแทนการใช้พลังงานในรูปแบบเดิมจากพลังงานทดแทนที่กล่าวมา นี้สามารถลดภัยพลังงานออกมายังรูปแบบพลังงานงานกลได้ใกล้เคียงกับพลังงานเชื้อเพลิง จึงสามารถนำเอาพลังงานทดแทนมาใช้แทนได้ แต่ก็มีข้อจำกัดทางด้านรูปแบบของอุปกรณ์วัสดุจกรที่จะนำเอามาใช้เปลี่ยนรูปพลังงานทดแทนให้นำไปใช้ประโยชน์ได้เพื่อให้มีการพัฒนารูปแบบ เครื่องจักรที่มีประสิทธิภาพ

โดยโครงการนี้จะเป็นการศึกษาหลักการทำงานและถุนภูที่เกี่ยวข้องกับอุปกรณ์วัสดุจกรชนิดสเตอร์ลิง รวมทั้งทำการทดลองประดิษฐ์ชุดอุปกรณ์วัสดุจกรประเภทสเตอร์ลิง ซึ่งเป็นเครื่องจักรด้วยความร้อนสันดาปภายในออกและเป็นการนำพลังงานความร้อนมาเปลี่ยนเป็นพลังงานกลที่ช่วยในการขับเคลื่อนอุปกรณ์วัสดุจกรประเภทสเตอร์ลิงเพื่อทำให้เกิดงานที่สามารถใช้ขับเครื่องจักรด้วยเครื่องกำเนิดไฟฟ้าเพื่อที่จะนำไปใช้ประโยชน์ต่อไปและลดต้นทุนทางด้านการใช้พลังงานเชื้อเพลิงลงได้ เช่น การนำความร้อนที่ปล่อย出ห้องในโรงงานอุตสาหกรรมกลับนำมาขับเครื่องบนตัวสเตอร์ลิง การนำเศษวัสดุจากธรรมชาตินามาเผาเพื่อให้เกิดความร้อนแล้วนำไปขับเครื่องบนตัวสเตอร์ลิง

1.2 วัตถุประสงค์

1.2.1 เพื่อศึกษาระบบการทำงานของอุปกรณ์วัสดุจกรประเภทสเตอร์ลิง

1.2.2 ประดิษฐ์ชุดต้นแบบอุปกรณ์วัสดุจกรประเภทสเตอร์ลิงอย่างง่ายเพื่อเป็นแนวทางในการนำมาใช้กับพลังงานทางเลือกในอนาคต

1.3 ขั้นตอนของโครงการ

- 1.3.1 ศึกษาหลักการทำงานของอุปกรณ์วัสดุจัดประเพณีสหธรรม์ลิง
- 1.3.2 ออกแบบและสร้างเครื่องบนต์สเตอร์ลิงอย่างง่าย
- 1.3.3 ทดสอบและเก็บข้อมูลความสัมพันธ์ระหว่างความเร็วตอบกับอุณหภูมิของระบบอุ่นสูบกำลังและระบบอุ่นสูบได้
- 1.3.4 คำนวณประสิทธิภาพทางความร้อนของเครื่องบนต์สเตอร์ลิง
- 1.3.5 วิเคราะห์และสรุปผลการทดลอง

1.4 ระยะเวลาการดำเนินงาน

ตารางที่ 1.1 ตารางระยะเวลาการดำเนินงาน

แผนการปฏิบัติงาน	2551							2552	
	ม.ย.	ก.ค.	ส.ค.	ก.ย.	ต.ค.	พ.ย.	ธ.ค.	ม.ค.	ก.พ.
1.กำหนดหัวข้อโครงการ	↔								
2.ศึกษาถื้อกว่าข้อมูลวัสดุจัดประเพณีสหธรรม์ลิง		↔	↔						
3.จัดซื้ออุปกรณ์และประดิษฐ์			↔	↔					
4.ทดสอบและปรับปรุง				↔	↔				
5.ทดลองและบันทึกผลการทดลอง					↔	↔			
6.วิเคราะห์ผลการทดลอง						↔	↔		
7.สรุปผลการทดลอง							↔	↔	

1.5 ประโยชน์ที่คาดว่าจะได้รับ

- 1.5.1 มีความรู้ความเข้าใจเกี่ยวกับหลักการทำงานของอุปกรณ์วัสดุจัดประเพณีสหธรรม์ลิง
- 1.5.2 สามารถนำไปพัฒนาเพื่อเป็นทางเลือกหนึ่งในการที่จะนำพลังงานทดแทนในรูปแบบต่างๆ แทนน้ำมันเชื้อเพลิงได้

1.6 งบประมาณ

ค่าทำเครื่องบนต์สเตอร์ดิ้ง	2,400 บาท
ค่าเอกสารและเข้าถ่าย	600 บาท
รวมทั้งหมด	3,000 บาท



บทที่ 2

หลักการและอุณหภูมิ

2.1 ลักษณะโดยทั่วไปของเครื่องจักรความร้อน

ลักษณะโดยทั่วไปของเครื่องจักรความร้อน (heat engine) คือการทำให้เป็นวัฏจักรเทอร์โน่ไคโนมิกส์ (thermodynamics cycle) ซึ่งจำเป็นต้องมีความแตกต่างของอุณหภูมิเพื่อทำให้เกิดงาน แหล่งความร้อนหรือแหล่งที่มีพลังงานความร้อน (อุณหภูมิสูง) มีความจำเป็นในการเริ่มต้นวัฏจักร โดยเริ่นจากการที่อากาศดูดความร้อนจากแหล่งอุณหภูมิสูงระหว่างกระบวนการขยายตัวของวัฏจักร จากนั้นาอากาศจะเป็นตัวโดยการถ่ายความร้อนออกมานา โดยอากาศที่อุณหภูมิแวดล้อมจะดูดความร้อนนั้นและทำตัวเป็นแหล่งรับความร้อน (heat sink) หรือแหล่งอุณหภูมิต่ำ

เครื่องบนต์สเตอร์ลิงเป็นอุปกรณ์ที่มีป้าบด้านหนึ่งของระบบอุกสูบถูกทำให้ร้อน ปลายระบบอุกสูบอีกข้างจะเย็น งานที่เอาไปใช้ประโยชน์ได้มาจากการหมุนของเพลา เครื่องบนต์สเตอร์ลิงเป็นเครื่องบนต์ระบบปิดไม่มีการดูดไอดี (intake) และปลดปล่อยเสีย (exhaust) ความร้อนถูกป้อนจากภายนอก อะไรก็ตามที่สามารถเผาและให้ความร้อนได้จะใช้เพื่อให้เครื่องบนต์สเตอร์ลิงทำงาน เช่น ถ่านหิน ไม้ พังพอน แกสน ก๊าซ โซลิน แอลกออล ก๊าซธรรมชาติ และอื่นๆ เครื่องบนต์สเตอร์ลิงไม่ต้องการการเผาไหม้ แต่ต้องการความร้อนเท่านั้นที่สามารถทำให้เครื่องบนต์สเตอร์ลิงสามารถทำงานได้ ความร้อนจากพลังงานแสงอาทิตย์ ความร้อนให้พิพารหรือความร้อนเหลือทิ้งจากโรงงานอุตสาหกรรม สามารถนำมาใช้กับเครื่องบนต์สเตอร์ลิง ได้ กำลังจากเครื่องบนต์สเตอร์ลิงสามารถใช้ขับเครื่องกำเนิดไฟฟ้าหรือจักรกลอื่นๆ อย่างไรก็ตามเครื่องบนต์สเตอร์ลิงก็ยังมีข้อจำกัดคือต้องการเวลาสำหรับอุ่นเครื่องบนต์ก่อนที่จะสร้างกำลังที่สามารถเอาไปใช้ประโยชน์ได้และเครื่องบนต์จะไม่สามารถเปลี่ยนแปลงกำลังที่ออกมานาหรือเร่งเครื่องได้อย่างรวดเร็ว

ลักษณะโดยทั่วไปของเครื่องบนต์ความร้อน คือ เกิดการเปลี่ยนแปลงปริมาตร โดยการขยายตัวและหดตัวของสารทำงานซึ่งอาจมีสถานะเป็นก๊าซค้างๆ หรือก๊าซผสม เช่น อากาศ การเปลี่ยนแปลงปริมาตรเกิดจากการเคลื่อนที่ของอุกสูบ หรืออุปกรณ์อื่นๆ ที่มีลักษณะคล้ายกัน การเปลี่ยนแปลงปริมาตรขึ้นอยู่กับการเคลื่อนที่ไปมาของอุกสูบและการเปลี่ยนตำแหน่งนี้เป็น 1 ใน 2 องค์ประกอบหลักของงาน ซึ่งองค์ประกอบอีกตัวที่ 2 ก็คือ แรง ซึ่งแรงที่กระทำให้อุกสูบเคลื่อน

งาน แรงในเครื่องบันค์ได้จากการเคลื่อนที่ขึ้นของอุกสูบ อันเนื่องมาจากการดันแก๊สที่กระทำบนพื้นที่ของอุกสูบ

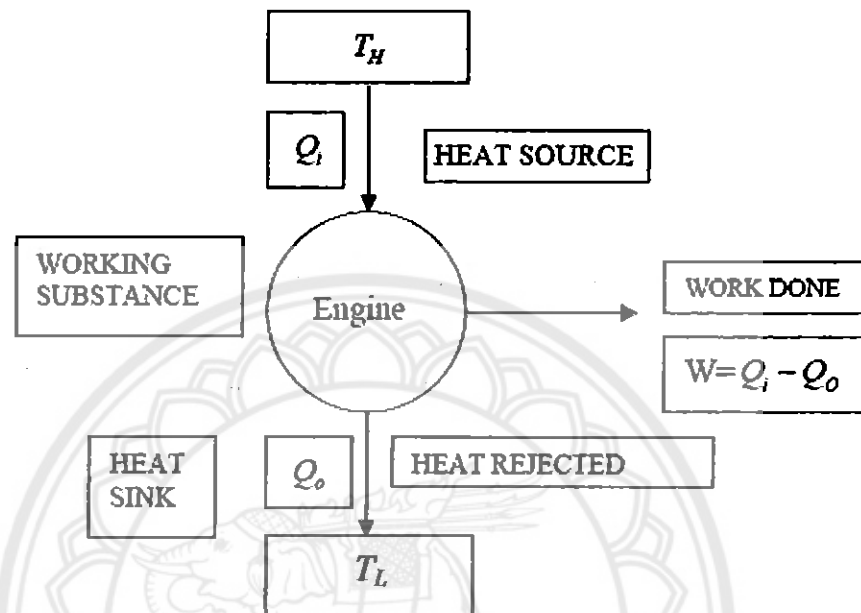
ในระบบอุกสูบของเครื่องบันค์จะมีการขยายตัวหรือการเพิ่มปริมาตรเกิดขึ้นและในอีกระบบอุกสูบจะมีการลดปริมาตรหรือการอัดเกิดขึ้น ในกระบวนการขยายตัวของเครื่องจักรจะเกิดงานส่งไปที่อุกสูบและก็จะส่งคืนไปยังข้อเหวี่ยงและแท่งเชื่อมต่อ ซึ่งทำให้เกิดรอบของการหมุนของเพลาหรือใบพัด อย่างไรก็ตาม ในทุกๆ การทำงานของเครื่องบันค์ (working engine) งานจะถูกผลิตขึ้นในกระบวนการขยายตัวมากกว่างานที่ต้องการเพื่อใช้ในกระบวนการอัดตัว

2.2 ประสิทธิภาพและกฎข้อที่ 2 ของเทอร์โน่ไดนาไมค์ส์

กฎข้อที่ 2 ของเทอร์โน่ไดนาไมค์ส์ (Second law of thermodynamics) กล่าวว่าทุกเครื่องบันค์ (engine) ต้องการแหล่งเก็บความร้อนที่ร้อนที่มีอุณหภูมิสูงกว่าสำหรับเป็นแหล่งกำเนิดความร้อน (heat source) และต้องการแหล่งเก็บความร้อนที่มีอุณหภูมิต่ำกว่า (cooler reservoir) เป็นแหล่งรับความร้อน (heat sink) การที่เครื่องบันค์จะศึกหรือไม่นั้นขึ้นอยู่กับว่ามันจะสามารถผลิตกำลัง (power) ได้เพียงพอต่อการทำให้เกิดงานที่ใช้ในการขับเครื่องจักร ได้เร็วแค่ไหน และประสิทธิภาพที่จะเปลี่ยนพลังงานความร้อนไปเป็นงานจำเป็นต้องมีมากแก่ไหน การพิจารณาสิ่งเหล่านี้ก่อนข้างที่จะขึ้นอยู่กับการออกแบบและการเลือกใช้เครื่องบันค์ แต่เครื่องบันค์เกือบทุกชนิดนั้นประสิทธิภาพจะมีความสำคัญ ไม่มีใครที่ต้องการสูญเสียนำ้มหรือการเผาไหม้เกินความจำเป็น ประสิทธิภาพคือการวัดว่าเครื่องบันค์จะสามารถให้งานออกมากเท่าไหร่สำหรับการให้ความร้อนหรือใช้น้ำมันเพียงเล็กน้อย ซึ่งก็คือสัดส่วนของงานที่เครื่องบันค์ผลิตต่อความร้อนเข้ามาที่ใช้ในการผลิตงาน

ในความเป็นจริงแล้วไม่มีเครื่องบันค์ใดที่จะให้ประสิทธิภาพได้ 100 เปลอร์เซนต์ ซึ่งอาจเกิดจาก การรั่วไหลของวัลว์และการเกิดแรงเสียดทาน (friction) ในทุกที่ที่มีการเคลื่อนที่ส่วนทางกันของระบบอุกสูบ ซึ่งการสูญเสียเหล่านี้อยู่ภายใต้กฎข้อที่ 1 ของเทอร์โน่ไดนาไมค์ส์ ที่กล่าวว่า พลังงานสามารถเปลี่ยนรูปหรือถูกดัดแปลงจากที่หนึ่งไปอีกที่หนึ่งได้ แต่ไม่สามารถสร้างขึ้นใหม่ หรือทำลายให้สูญหายได้ จากกฎข้อที่ 2 ต้องการความร้อนบางส่วนไปปล่อยออกที่แหล่งรับความร้อนเสมอเพื่อให้เกิดวัฏจักร ดังนั้นความร้อนทั้งหมดที่ถ่ายโอนมาจากแหล่งส่งความร้อน (hot

(reservoir) จะไม่สามารถเปลี่ยนไปเป็นงานได้ทั้งหมด เพราะจะเกิดความร้อนหรือพลังงานที่สูญเสีย ภายในเครื่องยนต์ นั่นหมายความว่า ประสิทธิภาพจะไม่สามารถเท่ากับ 100 เฟอร์เซ็นต์ได้ [1]



รูปที่ 2.1 แสดงการเปลี่ยนพลังงานความร้อนไปเป็นงาน และมีการถ่ายโอนความร้อนเกิดขึ้นในเครื่องจักรความร้อน

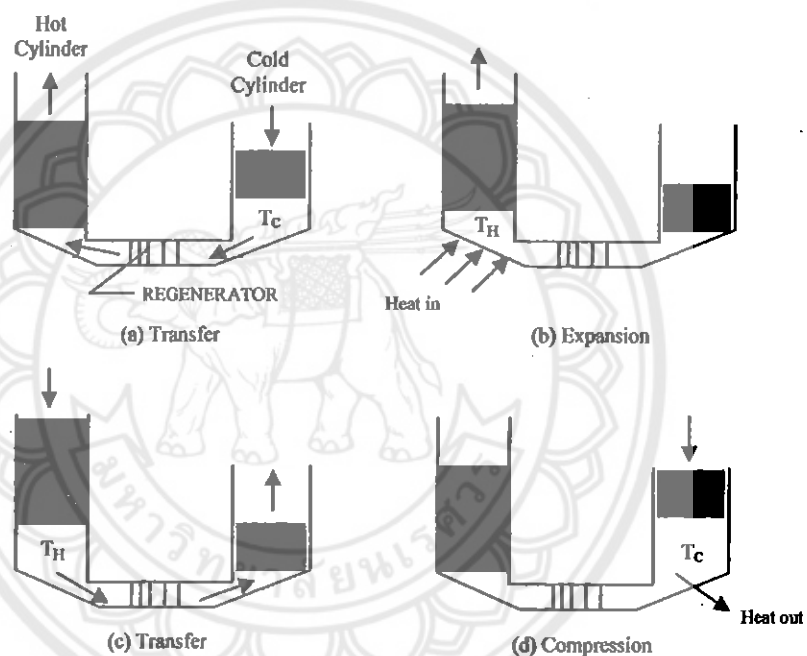
เครื่องจักรความร้อนแบบสเตอร์ลิง (stirling heat engine) เป็นเครื่องจักรประเภท เครื่องยนต์ความร้อนที่มีการสันดาปภายในอก ซึ่งเครื่องจักรความร้อนนี้เป็นเครื่องจักรที่สามารถเปลี่ยนพลังงานความร้อนไปเป็นพัฒนาภารหรืองานได้อย่างต่อเนื่อง งานจะถูกผลิตขึ้นมาเมื่อ เครื่องยนต์ (engine) ได้รับความร้อน เครื่องจักรที่จะเปลี่ยนพลังงานความร้อนไปเป็นพลังงานกล ของกานา ตัวอย่างของเครื่องจักรความร้อนคือ เครื่องจักรไอน้ำที่เคลื่อนไหวได้ (steam locomotive engine) พลังงานความร้อนที่ได้จากการเผาถ่านหินและไม้จะทำให้น้ำในหม้อต้มเดือดและได้ไอน้ำ ที่มีความคันสูง จากนั้นไอน้ำจะทำงานโดยขยายตัวภายในระบบอุกสูบและคันลูกสูบเป็นวัสดุจัดทำ ให้ถือหุน ได้จากการเคลื่อนที่ของอุกสูบหลังการใช้ไอน้ำแล้วจะขังเหลือความร้อนอยู่เล็กน้อย จึง จำเป็นที่จะต้องมีการพ่นควันออกมาย่างปล่อยไฟ เพื่อทำให้ห้องรับไอน้ำ (steam) สะอาดและพร้อม รับไอน้ำที่มีความคันมากขึ้นเข้ามาในระบบอุกสูบอีกครั้ง

2.3 ลักษณะของเครื่องยนต์สเตอร์ลิง

รูปร่างกายนอกของเครื่องยนต์สเตอร์ลิง โดยทั่วไปสามารถแบ่งออกได้เป็น 3 กลุ่มใหญ่ๆ คือการจัดเรียงแบบแอลfa (alpha), เบต้า (beta) และแกมมา (gamma)

2.3.1 รูปร่างแบบแอลfa (alpha configuration)

เครื่องยนต์แอลfa (alpha engine) เป็นลักษณะของเครื่องยนต์ที่มีลูกสูบ (piston) 2 ตัว ซึ่งถูกเชื่อมต่อกันแบบอนุกรม โดยมีรีเจนเนอเรเตอร์ (regenerator) อยู่ระหว่างกลาง



รูปที่ 2.2 แสดงลำดับการเคลื่อนที่แบบอุคਮคติของลูกสูบทั้ง 2 ตัว

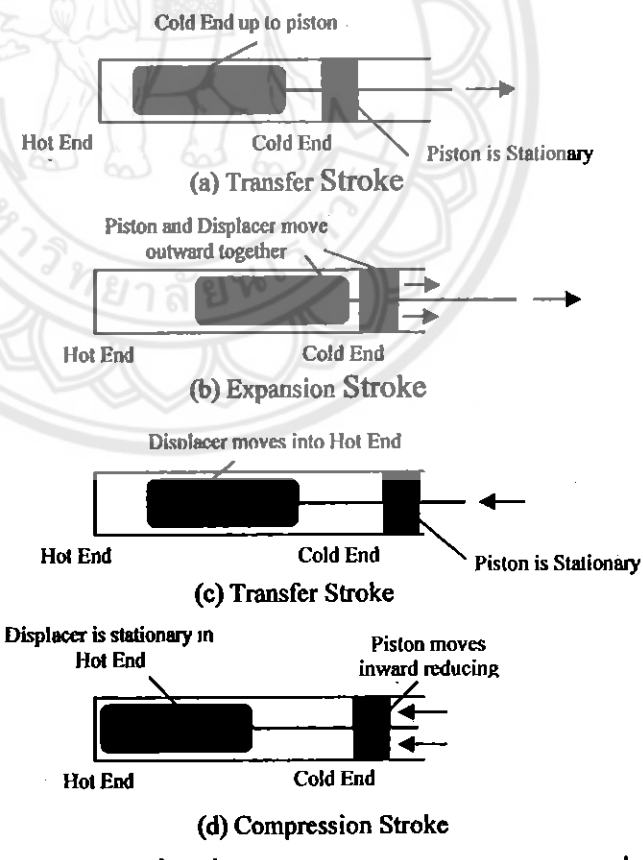
ในเครื่องยนต์แอลfa (alpha engine)

รูปที่ 2.2 (a) เป็นระยะเริ่มต้นของการถ่ายเทลูกสูบค้านี้ (cold piston) จะเคลื่อนที่เข้ามา ในขณะที่ลูกสูบค้านร้อน (hot piston) เคลื่อนที่ออกไป อาการจะถูกผลักดันผ่านช่องทางเขื่อนต่อที่ซึ่งมีรีเจนเนอเรเตอร์อยู่ และเคลื่อนผ่านไปยังค้านร้อนในขณะเริ่มต้นจะพบว่า อาการภายในเครื่องยนต์ส่วนมากจะอยู่ในทรงกระบอกค้านนี้ เมื่อเวลาผ่านไปอาการส่วนมากจะขึ้นไปอยู่ที่ทรงกระบอกค้านร้อน (hot cylinder) ที่ซึ่งมีอุณหภูมิและความดันสูงกว่า รูปที่ 2.2 (b) เป็นจังหวะการขยายตัว (expansion stroke) ลูกสูบค้านร้อนจะขังคงเคลื่อนที่ออกไป และในขั้นตอนนี้จะมีการดูดความร้อนจากแหล่งกำเนิดความร้อนกานยนต์อีกด้วย จากนั้นในรูปที่ 2.2 (c) ลูกสูบทั้ง 2

ตัวจะเคลื่อนที่อิกครั้ง โดยอุกสูบด้านร้อนจะเคลื่อนที่เข้ามา ในขณะที่อุกสูบด้านเย็นเคลื่อนที่ออกไป โดยอาศัยแรงในด้านร้อนจะถูกผลักดันผ่านรีเจนเนอเรเตอร์ไปยังด้านเย็น ในที่สุดวัสดุจึงจะสูบซึ่ง โดยการเคลื่อนที่เข้าของอุกสูบด้านเย็นดังรูปที่ 2.2 (d) ในจังหวะการอัดด้วยเป็นการเริ่มดันวัสดุจกรอิกครั้ง โดยอุกสูบจะเคลื่อนที่ไปประมาณครึ่งทาง จากนั้นจะมีการปล่อยความร้อนออกมานอกจากในขั้นตอนนี้ด้วยเพื่อทำให้อากาศภายในเครื่องยนต์มีอุณหภูมิต่ำลงจะเห็นได้ว่าเครื่องยนต์ลักษณะนี้เป็นเครื่องยนต์ที่มีรูปร่างที่สามารถทำความเข้าใจได้ง่าย แต่ก็มีข้อเสียคือ อุกสูบทั้ง 2 ตัวนี้จำเป็นอย่างยิ่งที่จะต้องได้รับการผนึกที่ดีเพื่อป้องกันการรั่วไหลของแก๊สที่อยู่ภายใน

2.3.2 รูปร่างแบบเบต้า (beta configuration)

เครื่องยนต์เบต้า (beta engine) จะมีลักษณะแตกต่างจากเครื่องยนต์แอลดฟ้า คือ เครื่องยนต์เบต้าจะมีอุกสูบ (piston) 1 ตัว และตัวแทนที่ (displacer) 1 ตัว เพื่อใช้ในการแทนที่อากาศภายในในขณะที่ปริมาตรคงที่โดยเคลื่อนที่ไปมาระหว่างพื้นที่การขยายตัว (expansion Space) และพื้นที่การอัดด้วย



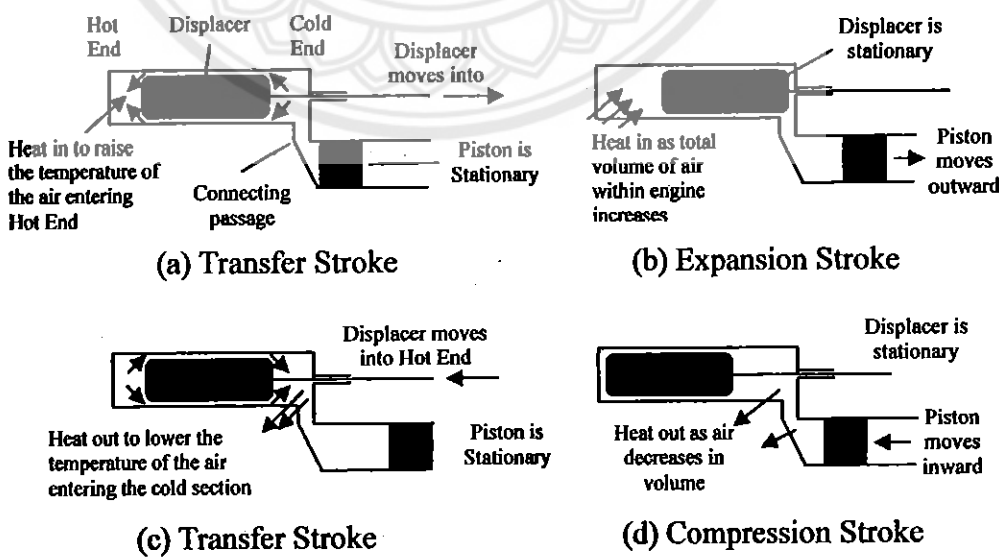
รูปที่ 2.3 แสดงลำดับการเคลื่อนที่แบบอุคਮคิดของอุกสูบและตัวแทนที่ในเครื่องยนต์เบต้า (beta engine)

รูปที่ 2.3 (a) ตัวแทนที่ (displacer) จะเคลื่อนที่เข้าไปหาอุกสูบ (piston) ที่อยู่ด้านปลายยืนทำให้อากาศถ่ายเทไปปั้งปลายร้อนส่งผลให้อากาศมีอุณหภูมิและความคันสูงขึ้น จากนั้นเป็นจังหวะการขยายตัวดังแสดงในรูปที่ 2.3 (b) โดยตัวแทนที่จะลูกสูบจะเคลื่อนที่ออกไปพร้อมกันในการขยายตัวทำให้อากาศยังคงอยู่ที่ปลายร้อนและรักษาอุณหภูมิและความคันไว้ให้สูงมากเท่าที่สามารถทำได้ จังหวะที่ถูกสูบเคลื่อนที่ออกไปจนถึงขั้นเดินที่จัดตั้งไว้และไม่สามารถเคลื่อนที่ต่อไปได้อีก และในรูปที่ 2.3 (c) จะเห็นว่าอากาศภายในจะถูกต่ำลงอยู่กับตัวแทนที่ ส่งผลให้อุณหภูมิและความคันของอากาศลดลง จากนั้นลูกสูบจะเคลื่อนที่ตามเข้ามาในจังหวะการอัดตัวดังรูปที่ 2.3 (d) หลังจากกลับปริมาตรลงประมาณครึ่งหนึ่งแล้ว วัสดุจาร์กึ่ฟร้อนที่จะเริ่มน้ำชาใหม่ยังคงรักษาอุณหภูมิไว้ได้ดีกว่าตัวแทนที่

จะเห็นได้ว่าเครื่องยนต์ลักษณะนี้เป็นเครื่องยนต์ที่การขยายตัวสามารถเกิดได้มากขึ้นในส่วนที่ร้อนหรือส่วนที่มีความคันสูงกว่า ซึ่งก็เป็นข้อดีของเครื่องยนต์เบต้า แต่ข้อเสียคือการหดกลาไกขึ้นเคลื่อนที่ความชันซึ่งมาก และหนึ่งในความชันซึ่งอนันน์ก็คือ ความจำเป็นที่จะต้องมีตัวเชื่อมต่อระหว่างตัวแทนที่และลูกสูบ

2.3.3 รูปร่างแบบแกนนา (gamma configuration)

เครื่องยนต์แกนนา (gamma engine) เป็นเครื่องยนต์ที่มีตัวแทนที่ (displacer) และลูกสูบ (piston) เช่นเดียวกับเครื่องยนต์เบต้า แตกต่างกันตรงที่เครื่องยนต์แกนนานั้นใช้ทรงกระบอกที่แยกออกจากกัน ในขณะที่เครื่องยนต์เบต้าใช้ทรงกระบอกร่วมกัน



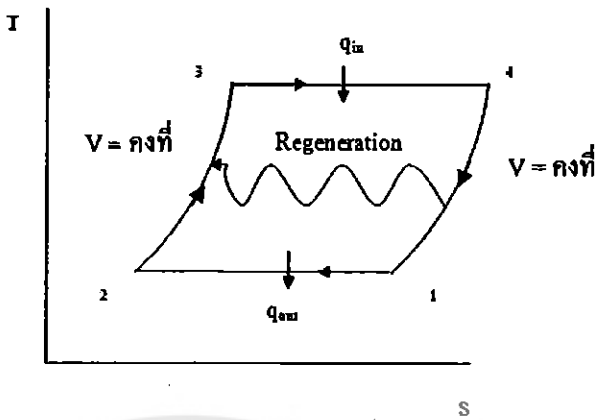
รูปที่ 2.4 แสดงลำดับการเคลื่อนที่แบบอุคਮคิดของลูกสูบและตัวแทนที่

ในเครื่องยนต์แกนนา (gamma engine)

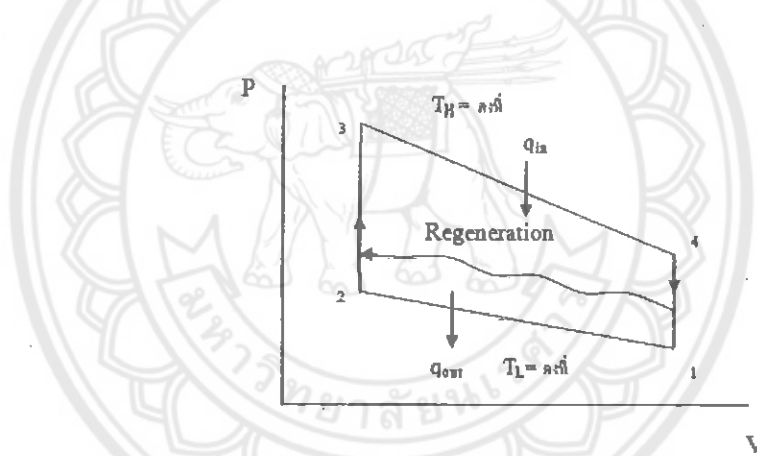
รูปที่ 2.4 (a) เริ่มที่สูกสูบ (piston) จะอยู่ด้านในมากที่สุดเท่าที่สามารถทำได้ ในขณะที่ตัวแทนที่ (displacer) จะเคลื่อนที่จากปลายร้อนไปสู่ปลายเย็น โดยจะมีอากาศบางส่วนอยู่ในช่องทางเชื่อมสันดาและบางส่วนอยู่รอบๆตัวแทนที่แต่อากาศส่วนมากจะอยู่ด้านปลายร้อนซึ่งส่งผลให้อุณหภูมิและความคันของมันสูงขึ้นเพื่อเตรียมพร้อมสำหรับจังหวะการขยายตัวของสูกสูบ (expansion stroke of the piston) ดังรูปที่ 2.4 (b) ตัวแทนที่จะอยู่นิ่งกับที่ในด้านปลายเย็น ในขณะที่สูกสูบจะเคลื่อนที่ออกไปเนื่องจากความคันภายในที่สูงขึ้น ในระหว่างเริ่มต้นของจังหวะการขยายตัว (expansion stroke) อุณหภูมิของอากาศภายในเครื่องยนต์จะสูงมาก นั่นคืออากาศส่วนมากจะอยู่ที่ปลายร้อน เมื่อเกิดการขยายตัวอากาศบางส่วนจะเคลื่อนตัวไปยังปลายเย็น ขั้นตอนนี้จะบังคับดำเนินไปจนกระทั่งความคันภายในทรงกระบอกลดลงเท่ากับความคันบรรยายกาศ จากนั้นาอากาศที่อยู่ในปลายร้อนก็จะถูกถ่ายไปยังปลายเย็น โดยการเคลื่อนที่ของตัวแทนที่ดังรูปที่ 2.4 (c) โดยให้พิจารณาว่าสูกสูบอยู่นิ่งกับที่ในขั้นตอนนี้ ผลที่เกิดขึ้นคืออากาศภายในทรงกระบอกมีอุณหภูมิลดลงและมีความคันลดลงค่าก่อว่าความคันบรรยายกาศ จากนั้นสูกสูบจะเคลื่อนที่เข้ามานีองจากอิทธิพลของความคันภายในออกที่สูงกว่าดังรูปที่ 2.4 (d) ล้าให้อากาศภายในถูกอัดตัว เป็นผลให้ความดันเพิ่มมากขึ้นจนกระทั่งความคันมีค่าเท่ากับความคันบรรยายกาศ จากนั้นวูจักรก็จะเริ่มวนซ้ำอีกครั้ง

จะเห็นได้ว่าข้อเสียของเครื่องยนต์แก๊สก็คือในระหว่างกระบวนการขยายตัว (expansion process) การขยายตัวบางส่วนจะเกิดในพื้นที่การอัดตัว (compression space) ส่งผลให้กำลังแรงที่ออกมามีค่าน้อยกว่าเครื่องยนต์เบต้า ในส่วนของข้อดีของเครื่องยนต์แก๊สก็คือ ความสะดวกในการมี 2 ทรงกระบอกสูบที่แยกจากกัน ทำให้มีความจำเป็นที่จะต้องผนึก เคพะส่วนของสูกสูบเท่านั้น

วูจักรสเตอร์ลิงในอุณหภูมิ ประกอบด้วย 4 กระบวนการทางเทอร์โน ไคนามิกส์ที่แบ่งเป็นกลับได้ แต่สามารถแสดงเป็นเอกลักษณ์ในส่วนของวูจักรหนึ่งกระบวนการอย่างง่ายๆให้เห็นได้ ข้างล่างนี้คือข้อของกระบวนการต่างๆที่รวมอยู่ในวูจักร โดยจะต้องมีการเคลื่อนไหวทางกลศาสตร์ ซึ่งจะเกิดขึ้นโดยอุณหภูมิได้ แต่ละกระบวนการจะมีการหมุนวนเป็นวูจักรกระทำซ้ำกันไปเรื่อยๆตามกำหนดค่าแทนงของสูกสูบถูกแสดงที่ตำแหน่งสิ้นสุดของแต่ละกระบวนการและได้แสดงแผนภาพ T-S diagram และ P-V diagram แต่ละกระบวนการดังต่อไปนี้



รูปที่ 2.5 แผนภาพ T-S diagram ของวัฏจักรสเตอร์ลิง [1]



รูปที่ 2.6 แผนภาพ P-V diagram ของวัฏจักรสเตอร์ลิง [1]

ซึ่งจากกระบวนการทั้งหมด สามารถสรุปอีกข้อๆ ได้ดังนี้

กระบวนการ 1-2 เป็นกระบวนการอัดตัวที่อุณหภูมิคงที่ (Isothermal compression process) โดยการ
加大ความร้อนไปข้าง แหล่งพลังงานภายนอก

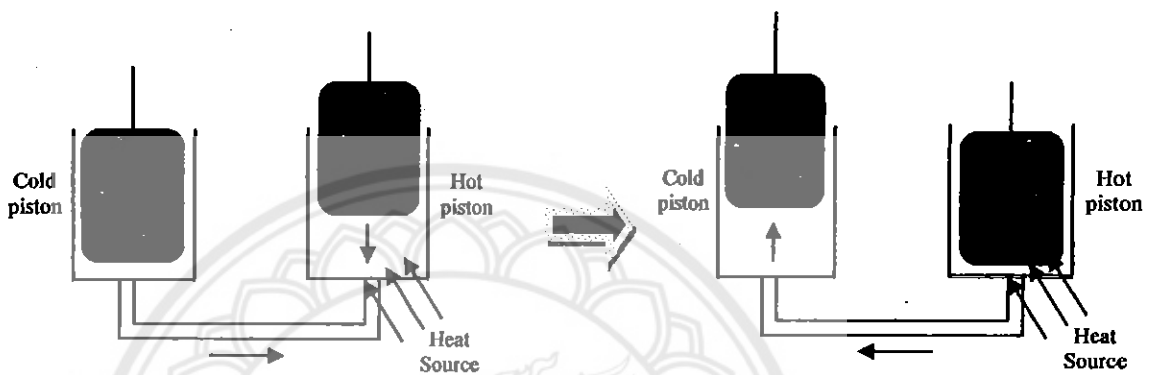
กระบวนการ 2-3 เป็นกระบวนการให้ความร้อนที่ปริมาตรคงที่ (Isovolumetric heating process)
โดยการถ่ายโอนความร้อนภายในจากรีเซนเนอร์เรเตอร์กลับไปข้างของไอลท์ทำงาน

กระบวนการ 3-4 เป็นกระบวนการขยายตัวที่อุณหภูมิคงที่ (Isothermal expansion process) โดยการ
ป้อนความร้อนจาก แหล่งพลังงานภายนอก

กระบวนการ 4-1 เป็นกระบวนการลดความร้อนที่ปริมาตรคงที่ (Isovolumetric cooling process)
โดยการถ่ายโอนความร้อนภายในจากของไอลท์ทำงานกลับไปข้างรีเซนเนอร์เรเตอร์

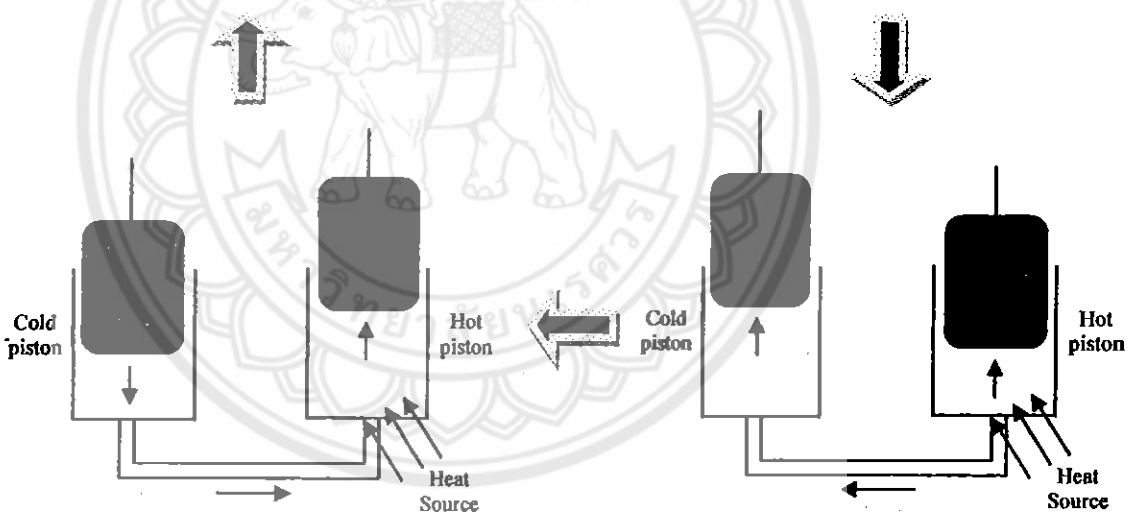
2.4 หลักการทำงานของเครื่องยนต์สเตอร์ลิง

เครื่องยนต์สเตอร์ลิงแบบสองถุงกําลังจะมี 2 ระบบถุงกําลัง ปลายด้านหนึ่งของระบบถุงกําลังหนึ่งจะร้อนหรือเรียกว่าระบบถุงกําลัง (hot piston) ซึ่งจะร้อนอยู่ตลอดเวลา อีกระบบถุงกําลังหนึ่งจะเย็นตลอดเวลาหรือเรียกว่าระบบถุงไส้ (cold piston) ซึ่งมีลำดับการทำงานอยู่ 4 ขั้นตอนคือ



กระบวนการ 1-2 เป็นกระบวนการอัดด้วยที่ดูดหุ้นคงที่

กระบวนการ 2-3 เป็นกระบวนการให้ความร้อนที่ปริมาตรคงที่



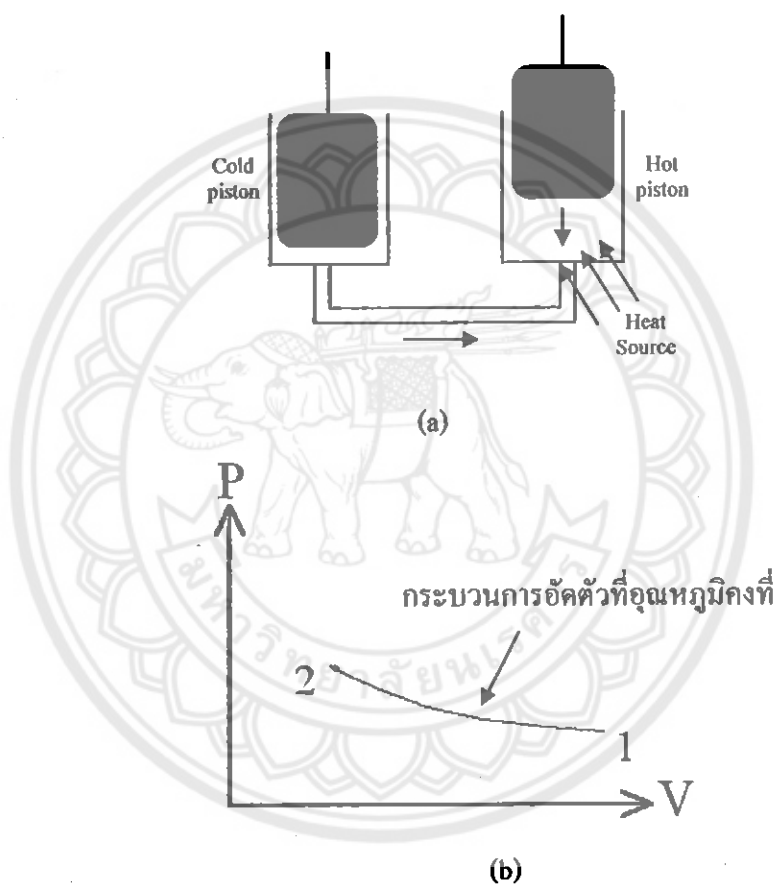
กระบวนการ 4-1 เป็นกระบวนการขยายความร้อนที่

กระบวนการ 3-4 เป็นกระบวนการขยายด้วยที่ดูดหุ้นคงที่

รูปที่ 2.7 แสดงวิธีการสเตอร์ลิง

2.4.1 กระบวนการ 1-2 เป็นกระบวนการอัดตัวที่อุณหภูมิคงที่

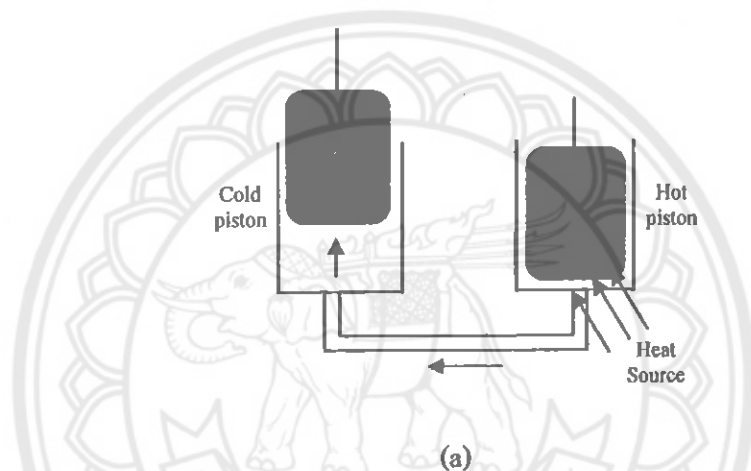
ลูกสูบกำลัง (hot piston) เคลื่อนที่ลงมาอยู่ที่ตำแหน่งกึ่งกลาง โดยระบบอุกสูบໄล์ (cold piston) จะอยู่ที่ตำแหน่งต่ำสุด ทำให้อากาศถูกอัดให้มีปริมาตรที่เล็กลงและรับประทานความร้อนให้กับสิ่งแวดล้อมด้วยอุณหภูมิคงที่ เมื่อสิ่นสุดกระบวนการแกนเพลาจะหมุนไป $\frac{1}{4}$ รอบซึ่งขั้นตอนนี้เป็นกระบวนการอัดตัวที่อุณหภูมิคงที่ (Isothermal compression process)



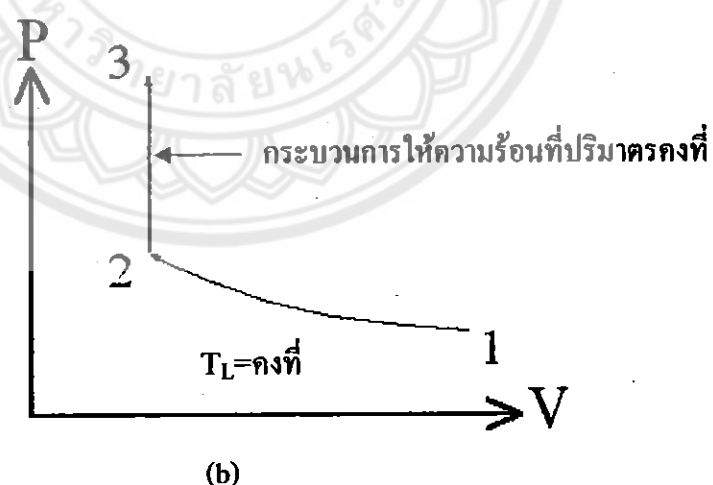
รูปที่ 2.8 (a) แสดงตำแหน่งของลูกสูบ (b) แผนภาพ P-V ของกระบวนการอัดตัวที่อุณหภูมิคงที่

2.4.2 กระบวนการ 2-3 เป็นกระบวนการให้ความร้อนที่ปริมาตรคงที่

ถูกสูบกำลัง (hot piston) จะเคลื่อนที่ลงจนมาอยู่ในตำแหน่งต่ำสุด ในขณะที่ถูกสูบໄล (cold piston) เคลื่อนที่ขึ้นไปอยู่ที่ตำแหน่งกึ่งกลางทำให้ปริมาตรอากาศคงที่ และเป็นกระบวนการที่รีเอนเนอเรเตอร์ถ่ายโอนความร้อนให้แก่อากาศ ทำให้อากาศมีอุณหภูมิและความดันสูงขึ้น ขั้นตอนนี้เป็นกระบวนการให้ความร้อนที่ปริมาตรคงที่ (Isovolumetric heating process) โดยแกนของเพลาจะหมุนไปอีก $\frac{1}{4}$ รอบ รวมกันเป็น $\frac{1}{2}$ รอบและแกนหมุนของเพลานีทิศทางทวนเข็มนาฬิกา



(a)

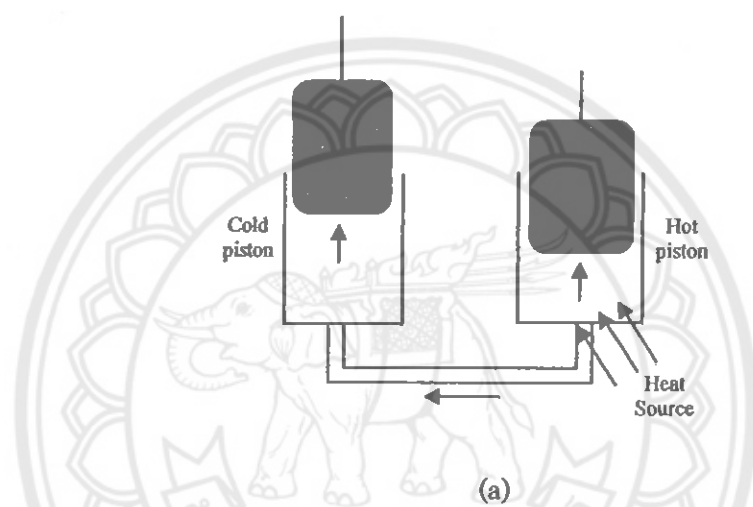


(b)

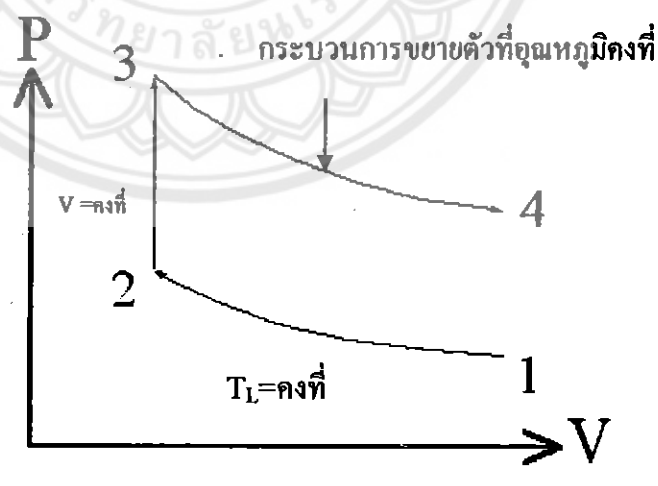
รูปที่ 2.9 (a) แสดงตำแหน่งของถูกสูบ (b) แผนภาพ PV ของกระบวนการให้ความร้อนคงที่

2.4.3 กระบวนการ 3-4 เป็นกระบวนการขยายตัวที่อุณหภูมิคงที่

ในกระบวนการนี้ถูกสูบกำลังจะเคลื่อนที่ขึ้นไปอยู่ที่ตำแหน่งกึ่งกลางและถูกสูบໄล่จะเคลื่อนที่ขึ้นไปอยู่ที่ตำแหน่งสูงสุด ทำให้ปริมาตรอากาศเพิ่มขึ้นเนื่องจากอากาศได้รับความร้อนจากแหล่งความร้อนที่อุณหภูมิคงที่ เกิดแรงดันถูกสูบกำลัง (hot piston) เคลื่อนที่ขึ้นข้างบน เมื่อสิ้นสุดกระบวนการแกนเพลาจะหมุนไปอีก $\frac{1}{4}$ รอบ นาถึงกระบวนการนี้แกนเพลาจะหมุนรวมทั้งหมด $\frac{3}{4}$ รอบ และเป็นกระบวนการขยายตัวที่อุณหภูมิคงที่ (Isothermal expansion process)



(a)

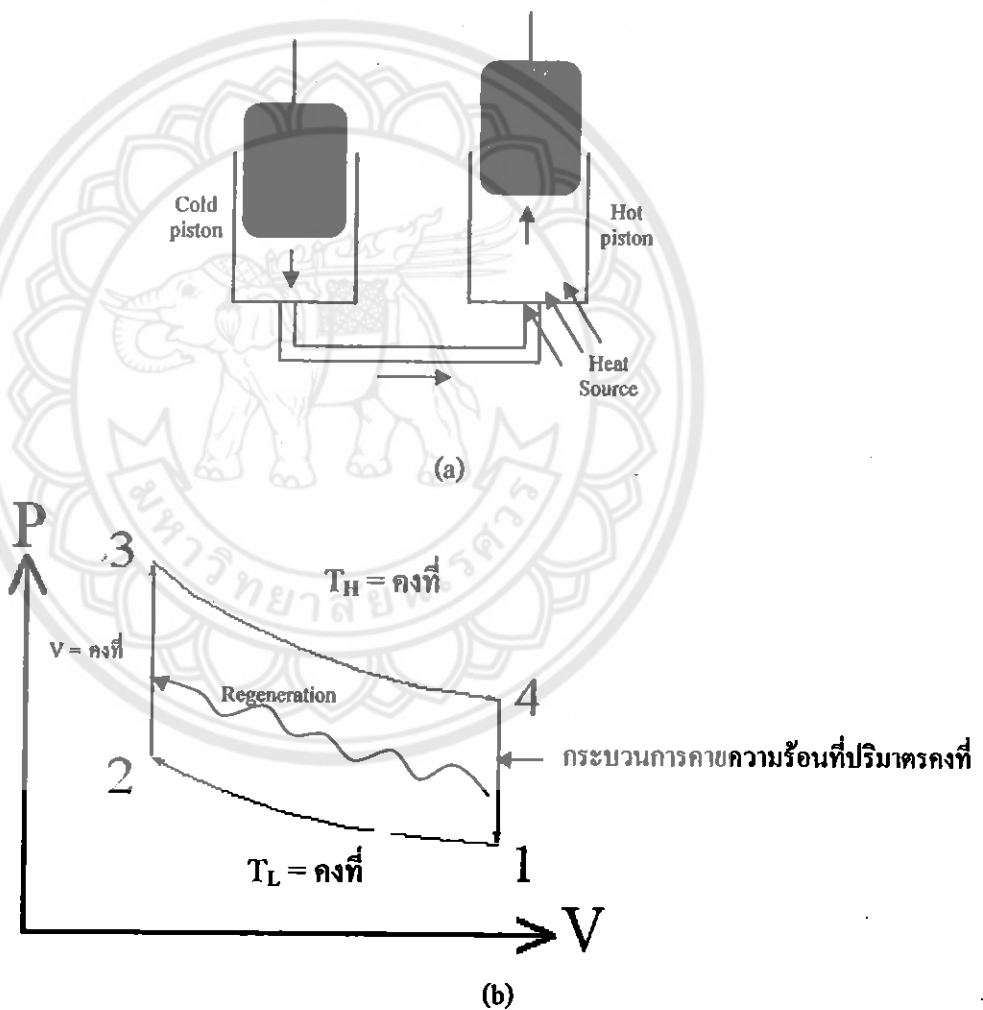


(b)

รูปที่ 2.10 (a) แสดงคำแนะนำของถูกสูบ (b) แผนภาพ PV ของกระบวนการขยายตัวที่อุณหภูมิคงที่

2.4.4 กระบวนการ 4-1 เป็นกระบวนการ稼ขความร้อนที่ปริมาตรคงที่

ถูกสูบกำลัง (hot piston) จะเคลื่อนขึ้นไปอยู่ที่ตำแหน่งสูงสุดและถูกสูบໄล' (cold piston) เคลื่อนที่ลงมาอยู่ที่ตำแหน่งต่ำลงทำให้อากาศมีปริมาตรคงที่ ทำให้อากาศเคลื่อนที่ผ่านรีเจน เนอเรเตอร์และทำความร้อนให้กับรีเจนเนอเรเตอร์ ทำให้อากาศมีอุณหภูมิและความดันลดลง เป็นกระบวนการ稼ขความร้อนที่ปริมาตรคงที่ (Isovolumetric cooling process) เมื่อสิ้นสุดกระบวนการ แกนเพลาจะหมุนครบ 1 รอบและการทำงานจะครบ 4 วัյจักรอย่างสมบูรณ์ เมื่อถูกสูบกำลัง เคลื่อนที่ลงมาอัดอากาศอีกรั้งจะเป็นการเริ่มต้นของวัյจักรใหม่



รูปที่ 2.11 (a) แสดงตำแหน่งของถูกสูบ (b) แผนภาพ P-V ของกระบวนการ稼ขความร้อนที่ปริมาตรคงที่

ผลของวัฏจักรสเตอร์ลิง คือ เครื่องuhnที่รับความร้อน (q_H) ที่เหล่งอุณหภูมิสูงและขายความร้อน (q_L) ที่เหล่งอุณหภูมิต่ำและทำให้ได้งานสุทธิ

$$|W| = |q_H| - |q_L| \quad [5]$$

โดยที่

q_H คือ ปริมาณความร้อนที่ป้อนจากเหล่งพลังงานกําชันอก, W

q_L คือ ปริมาณความร้อนที่ถ่ายโอนสู่สิ่งแวดล้อม, W

คําข้อเหตุผลที่รีเยนเนอเรเตอร์ที่มีประสิทธิภาพเท่ากับ 100 เปอร์เซ็นต์ ซึ่งตัวรีเยนเนอเรเตอร์อาจจะเป็นเด็นลิตหรือตะแกรงเชรามิกหรือวัสดุที่มีรูพรุนชนิดอื่นๆซึ่งมีความสามารถในการถักเก็บความร้อนได้สูง ตัวรีเยนเนอเรเตอร์ถูกใช้สำหรับถักเก็บพลังงานความร้อนชั่วคราว ความร้อนที่ถ่ายเทให้แก่สารทำงานในกระบวนการที่ 2-3 ทั้งหมดจึงได้มาจากการร้อนที่ถ่ายเทออกจากสารทำงานในกระบวนการ 4-1 [5] ดังนั้นความร้อนจากกําชันอกทั้งหมดที่ถ่ายเทให้สารทำงาน (กระบวนการ 3-4) และความร้อนที่สารทำงานถ่ายเททิ้งให้สิ่งแวดล้อม (กระบวนการ 1-2) จึงเกิดที่กระบวนการที่อุณหภูมิกลงที่ ซึ่งทำให้สามารถสรุปได้ว่า ประสิทธิภาพเชิงความร้อนของวัฏจักรสเตอร์ลิงจะมีค่าเท่ากับประสิทธิภาพเชิงความร้อนของคาร์โนต์และวัฏจักรอิริคส์สัน กล่าวคือ

$$\eta_{th,stirling} = \eta_{th,Ericson} = \eta_{th,carnot} = 1 - \frac{T_L}{T_H} \quad [1]$$

โดยที่

T_L คือ อุณหภูมิที่เหล่งสะสมพลังงานอุณหภูมิต่ำ, K

T_H คือ อุณหภูมิที่เหล่งสะสมพลังงานอุณหภูมิสูง, K

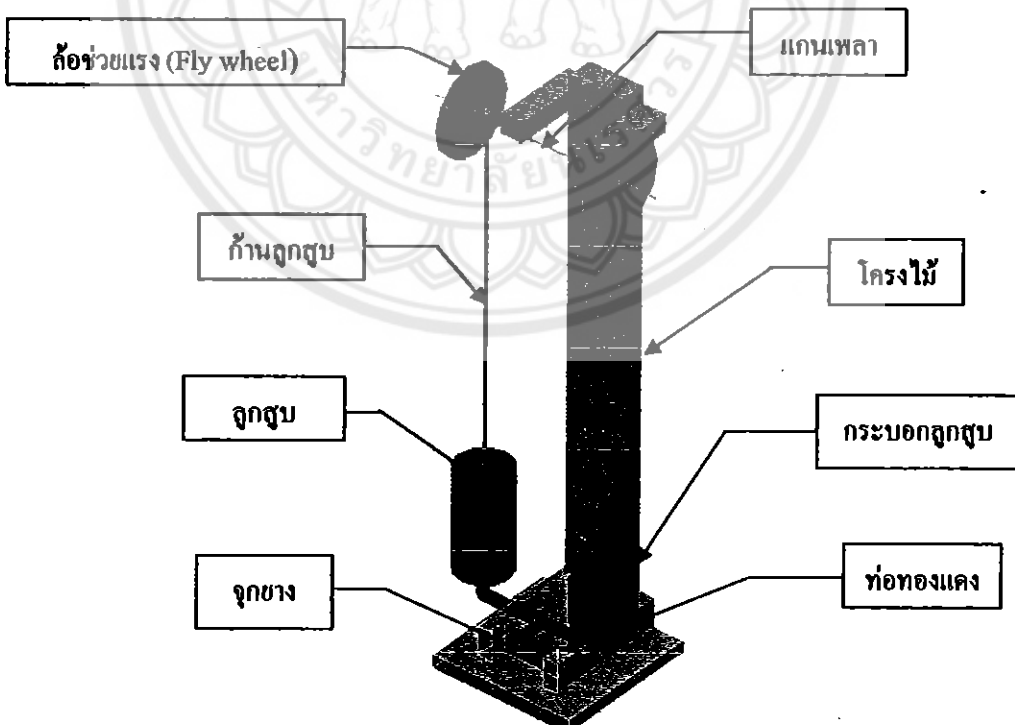
บทที่ 3

วิธีการคำนวณการและการออกแบบ

การคำนวณการและออกแบบมีส่วนหลักๆ ตามวัตถุประสงค์ของโครงการคือ ศึกษากระบวนการทำงานของอุปกรณ์วัสดุจกรประเภทเดอร์ลิงและประดิษฐ์ชุดด้านบนอุปกรณ์วัสดุจกรประเภทเดอร์ลิงอย่างง่าย เพื่อให้ได้ความวัตถุประสงค์ที่ต้องไว้ซึ่งมีวิธีการคำนวณงานตลอดโครงการดังต่อไปนี้

3.1 การออกแบบเครื่องยนต์สเตอร์ลิง

ในการออกแบบเครื่องยนต์สเตอร์ลิงจะใช้หลักการของความแตกต่างของอุณหภูมิระหว่าง 2 กระบวนการทำกำลังในการออกแบบ โดยจะทำการให้ความร้อนแก่เครื่องยนต์จนถึงระดับหนึ่ง แล้วทำการให้แรงเริ่มต้นแก่ล้อช่วยแรง (Fly wheel) ในขั้นต้นเพื่อให้เครื่องสามารถทำงานเองได้ โดยจะมีห้องเผาที่ส่งออกสาระระหว่าง 2 กระบวนการ



รูปที่ 3.1 ส่วนประกอบที่สำคัญของเครื่องยนต์สเตอร์ลิง

ส่วนประกอบและหน้าที่สำคัญของเครื่องยนต์สเตอร์ลิงมีดังต่อไปนี้

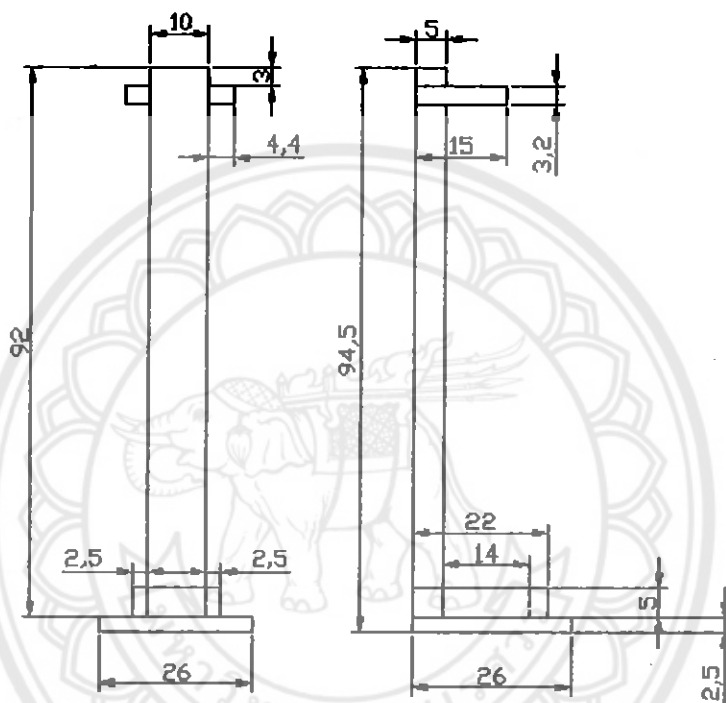
1. ระบบอกรูบ ทำหน้าที่ควบคุมการเคลื่อนที่ขึ้นลงของลูกศุนย์
2. ลูกศุนย์ ทำหน้าที่เคลื่อนที่ขึ้นลงภายในระบบอกรูบและรับแรงคันจากอากาศที่ได้รับความร้อนและส่งกำลังไปที่เก็นเพลาโดยผ่านก้านลูกศุนย์
3. ก้านลูกศุนย์ ทำหน้าที่ส่งกำลังจากลูกศุนย์ไปยังเก็นเพลา
4. แกนเพลา ทำหน้าที่ขีดล้อช่วยแรง (Fly wheel) และส่งกำลังจากก้านลูกศุนย์ไปยังล้อช่วยแรง
5. ล้อช่วยแรง ทำหน้าที่เป็นตัวช่วยเริ่มต้นในการหมุนของเครื่องยนต์สเตอร์ลิง
6. ท่อทองแดง ทำหน้าที่เป็นทางส่งผ่านการเคลื่อนที่ของอากาศ
7. ไครงไว้ ทำหน้าที่ขีดซิ้นส่วนต่างๆ ของเครื่องยนต์
8. ชุดยาง ทำหน้าที่เป็นตัวปีกช่องระบบภายใน เมื่อน้ำเกิดการขังภายในห่อ และทำให้ระบบอยู่ในระบบปิด

3.2 วัสดุอุปกรณ์

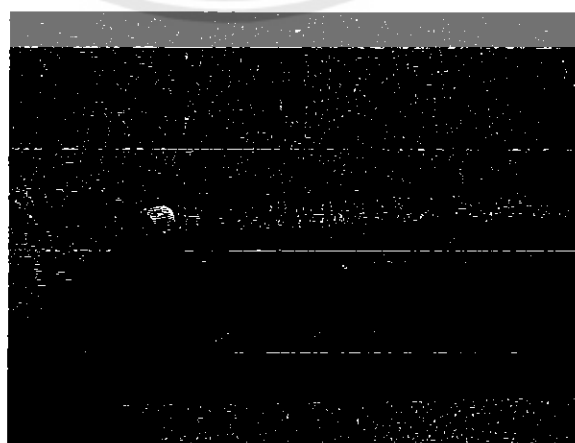
1. กระปืองที่ผลิตจากสังกะสีหรืออลูминิเนียม ขนาดเส้นผ่าศูนย์กลาง 10 ซม.
2. กระปืองน้ำอัดลม
3. เหล็กวงกลมขาว 40 ซม.
4. ท่อทองแดง ข้องช ขนาด 1.9 ซม.
5. ท่อทองแดง ขนาด 1.9 ซม. ยาว 45 ซม.
6. ท่อทองแดง 3 ทาง ขนาด 1.9 ซม.
7. ไม้สีเหลี่ยม ขนาด 10×5 ซม. ยาว 106 ซม.
8. ไม้สีเหลี่ยม ขนาด 2.5×5 ซม. ยาว 44 ซม.
9. ไม้สีเหลี่ยม ขนาด 26×26 ซม. หนา 2.5 ซม.
10. ไม้สีเหลี่ยม ขนาด 4.2×3.2 ซม. ยาว 31.6 ซม.
11. ไม้ทรงกระบอก ขนาด 0.8 ซม.
12. ล้อช่วยแรงทำจากไม้วงกลม ขนาดเส้นผ่าศูนย์กลาง 15 ซม.

3.3 การเตรียมชิ้นงาน

3.3.1 การวัดขนาดชิ้นงาน เป็นการร่างขนาดชิ้นงานลงบนชิ้นงานตามขนาดและรูป่างตามที่ได้ออกแบบไว้

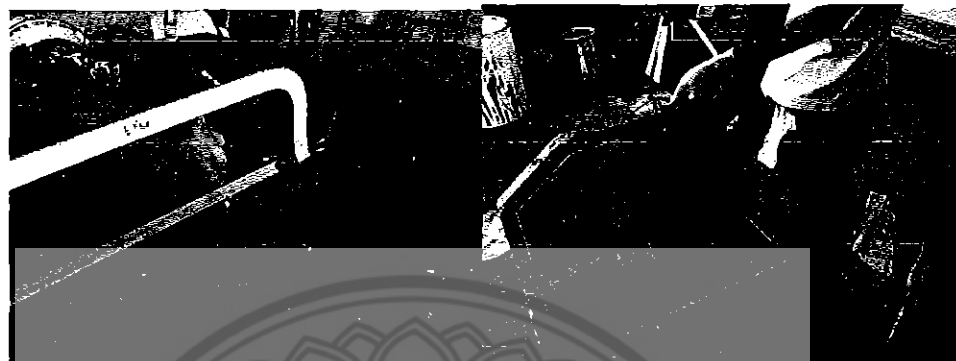


รูปที่ 3.2 การออกแบบโครงไม้



รูปที่ 3.3 แสดงการวัดขนาดชิ้นงาน

3.3.2 การตัดชิ้นงาน การใช้เลื่อยตัดเหล็กในการตัดแกนเพลา ท่อทองแดง และใช้เลื่อยใน การตัดไม้



รูปที่ 3.4 แสดงการตัดชิ้นงาน

3.3.3 การตัดชิ้นงาน โดยใช้ปากกาจับชิ้นงานให้แน่นแล้วใช้ก้อนทำกรีดแกนเหล็กเพื่อตัด แกนเพลาให้ได้รูปตามด้องการ



รูปที่ 3.5 แสดงการตัดชิ้นงาน

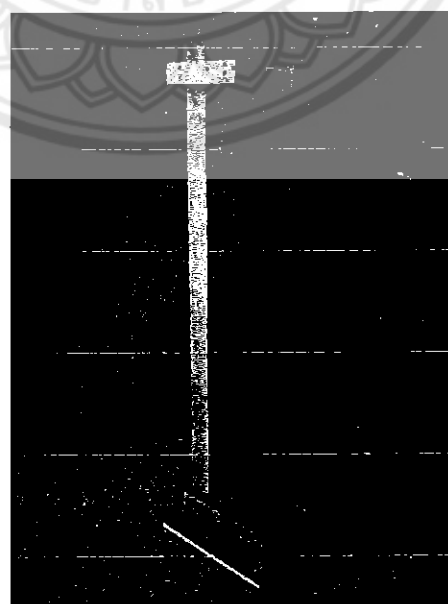
3.3.4 การเจาะรูชิ้นงาน ทำการเจาะรูชิ้นงานด้วยสว่านในส่วนของท่อนไผ่



รูปที่ 3.6 แสดงการเจาะรูชิ้นงาน

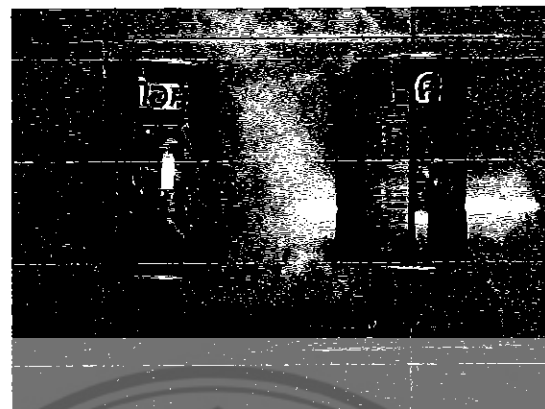
3.4 ขั้นตอนการประกอบชิ้นงาน

3.4.1 ประกอบโครงไม้ไผ่บนไม้ที่เตรียมไว้มาประกอบกัน ดังรูป 3.7



รูปที่ 3.7 ส่วนประกอบโครงไม้

3.4.2 นำท่อทองแดงเดําจะชิ้นประกอบกันโดยการเชื่อมด้วยเงิน



รูปที่ 3.8 ส่วนประกอบท่อทองแดง

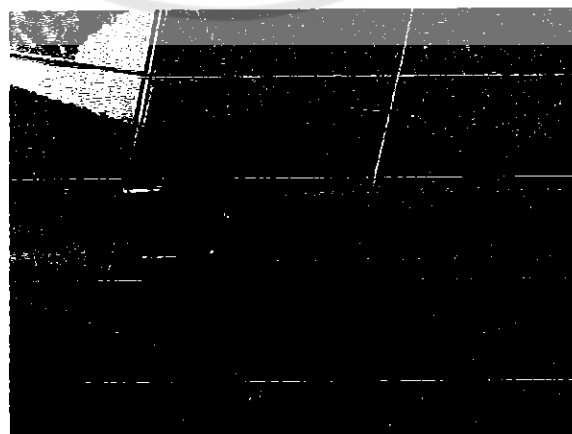
3.4.3 นำกระป้องโลหะนาเข้ารูที่ตรงกลางกันกระป้องแล้วนำท่อทองแดงขนาด 12.5 ซม.

ส่วนกับกระป้องแล้วเชื่อมด้วยเงินเสร็จแล้วนำไปประกอบเข้ากับท่อทองแดงที่ประกอบไว้ในข้อ 3.4.2

3.4.4 การทำกรอบกุกสูบโดยนำกระป้องน้ำอัดลมมาตัดส่วนบนของกระป้องออกทั้งสองกระป้อง

3.4.5 เจาะรูที่กันกระป้องน้ำอัดลมขนาด 0.8 ซม.

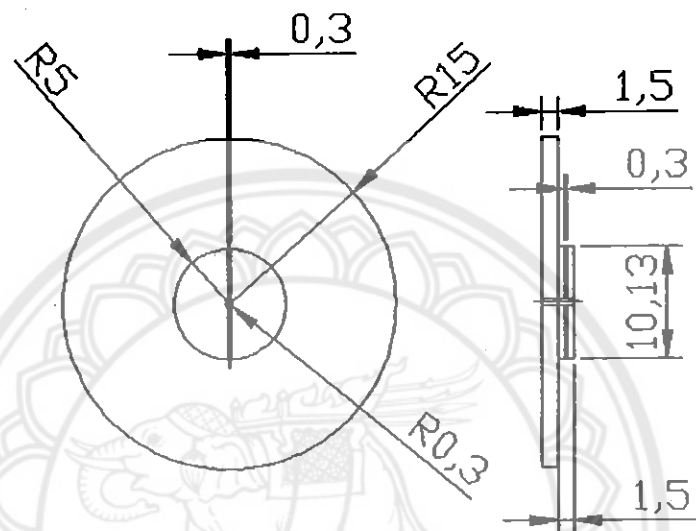
3.4.6 นำกระป้องน้ำอัดลมมาประกอบกับแกนไม้ โดยใช้กาว epoxy เป็นตัวเชื่อม ดังรูป 3.9



รูปที่ 3.9 การประกอบกุกสูบกับก้านสูบ

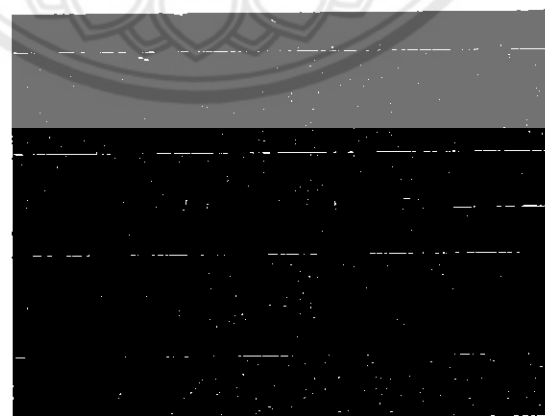
3.4.7 นำสายไฟขดให้เป็นวงกลมขนาดใหญ่กว่าแกนเพลาเล็กน้อย แล้วนำไปติดที่ปลายอีก
ด้านของแท่งไม้โดยใช้การ Epoxy เป็นตัวเชื่อม

3.4.8 ตัดไม้ให้เป็นลักษณะวงกลมขนาดเด่นพานศูนย์กลาง 15 ซม. เพื่อนำมาทำเป็นล้อ^{ช่วยแรง} พร้อมทั้งเจาะรูตรงกลางขนาดเท่ากับแกนเพลา ดังรูป 3.11



รูปที่ 3.10 การออกแบบล้อช่วยแรง

3.4.9 นำเหล็กกลมมาตีขึ้นรูป ดังรูป 3.11

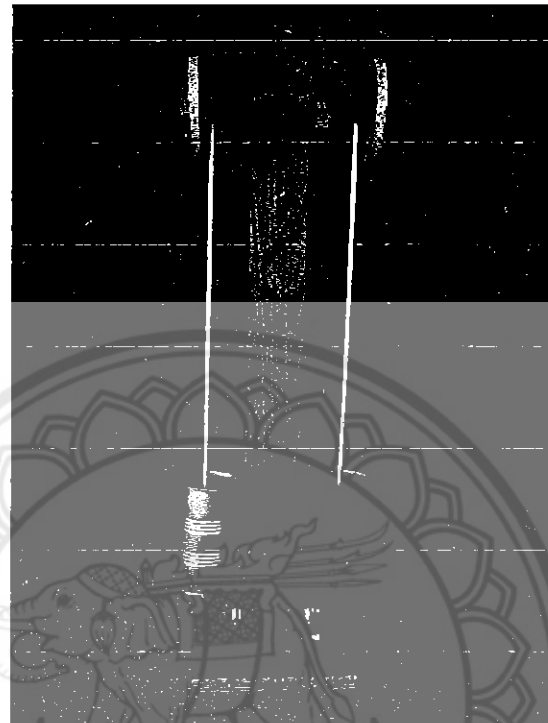


รูปที่ 3.11 เพลาเหล็กวงกลม

15094264 E.2

5200087

3.4.11 นำเข้าส่วนที่เตรียมไว้มาประกอบกัน ตั้งรูป



150
กัน
255!

รูปที่ 3.12 เครื่องบนตั้งเตอร์ลิงที่ประคัญช์ได้จริง

3.5 ขั้นตอนการทดสอบเครื่อง

- 3.5.1 ทดสอบการหมุน โดยใช้แก๊ส LPG เป็นตัวให้ความร้อน โดยจะทำการให้ความร้อนเพียงกระปุ่งด้านเดียว ทำให้อุณหภูมิของกระปุ่งที่ได้รับความร้อนนั้นเพิ่มมากขึ้นเรื่อยๆ จากนั้นก็ให้ความเร็วเริ่มต้นในการหมุน
- 3.5.2 ทำการวัดอุณหภูมิของน้ำในระบบอกรสูบคำลังและระบบอกรสูบໄล์ โดยใช้เทอร์โมมิเตอร์เป็นตัววัด ณ เวลาต่างๆตามตาราง 3.1
- 3.5.3 ทำการวัดความเร็วรอบของล้อช่วยแรง โดยใช้สายตาสังเกตความเร็วรอบและใช้นาฬิกาเป็นเครื่องมือจับเวลา
- 3.5.4 นำข้อมูลที่ได้มาบันทึกและวิเคราะห์ผลการทดลอง

ตารางที่ 3.1 ข้อกำหนดในการทดสอบ

การวัด	อุปกรณ์ที่ใช้ในการวัด	เวลา (นาที)	จำนวนครั้งในการทดสอบ
อุณหภูมิ	เทอร์โมมิเตอร์, นาฬิกาจับเวลา		
ระบบอุ่นสูบกำลัง ($^{\circ}\text{C}$)		ทุกๆ 3 นาที	3
ระบบอุ่นสูบໄ:inline ($^{\circ}\text{C}$)		ทุกๆ 3 นาที	3
การวัดความเร็วอน (รอบต่อนาที)	สายตา, นาฬิกาจับเวลา	ทุกๆ 3 นาที	3

* หมายเหตุ ในการทดสอบแต่ละครั้งจะใช้เวลาทั้งหมด 30 นาที



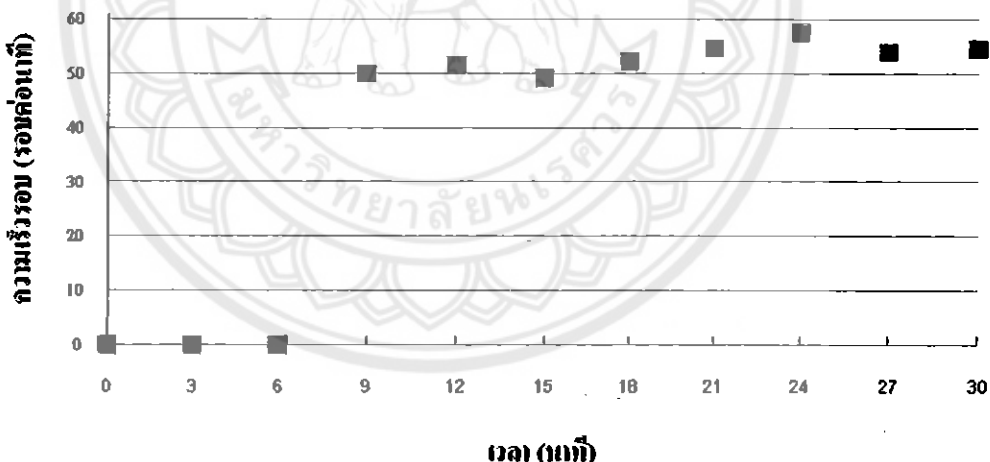
บทที่ 4

ผลการทดลอง

จากขั้นตอนการทดลองในการเก็บข้อมูลการทำงานของเครื่องยนต์สเตอร์ลิงจะได้ข้อมูลดังตาราง ก.1 ตาราง ก.2 และตาราง ก.3 จากภาคผนวก ก ซึ่งได้ทำการเก็บข้อมูล ดังต่อไปนี้ก็อุณหภูมิระบบอกรถูนกำลัง (hot piston), อุณหภูมิระบบอกรถูนໄล์ (cold piston) และความเร็วอนซึ่งจะใช้ข้อมูลของผลค่าของอุณหภูมิของระบบอกรถูนไปคำนวณหาประสิทธิภาพทางความร้อนของเครื่องยนต์

4.1 ความสัมพันธ์ระหว่างตัวแปรกับเวลา

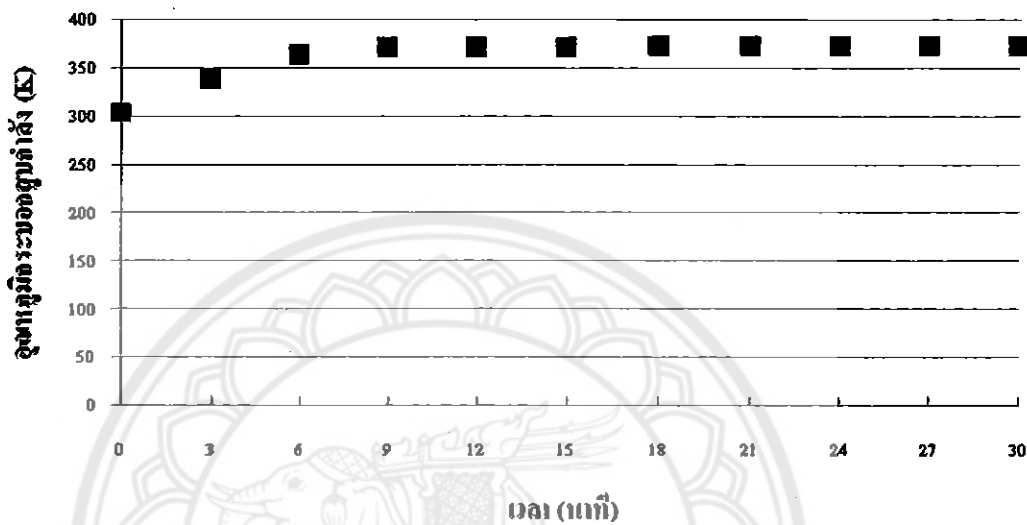
ผลการทดลอง ตาราง ก.4 จากภาคผนวก ก นำมารังเรียงเป็นกราฟเพื่อให้เห็นแนวโน้มของความเร็วอนเมื่อเวลาเพิ่มขึ้น จะได้ดังรูปที่ 4.1



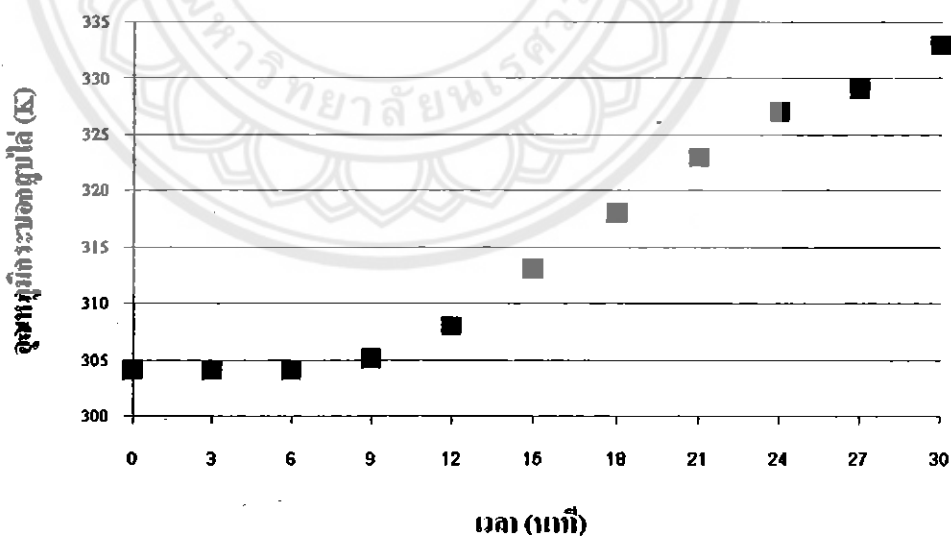
รูปที่ 4.1 ความสัมพันธ์ระหว่างเวลาและความเร็วอน

จากรูปที่ 4.1 แสดงให้เห็นว่าเมื่อเวลาผ่านไปเครื่องยนต์สามารถทำงานได้อย่างต่อเนื่อง ซึ่งในช่วงแรกของการทดลองเครื่องยนต์ยังไม่สามารถทำงานได้ เมื่อเวลาเพิ่มขึ้น จึงอาจมีการทำงานที่จะเสียเวลาและแรงเสียดทานที่เกิดขึ้นนั้นยังไม่เพียงพอ แต่หลังจากที่ให้ความร้อนอย่างต่อเนื่องจะพบว่า เมื่อทำการให้แรงแก่เครื่องยนต์ เครื่องยนต์สามารถทำงานได้อย่างต่อเนื่อง

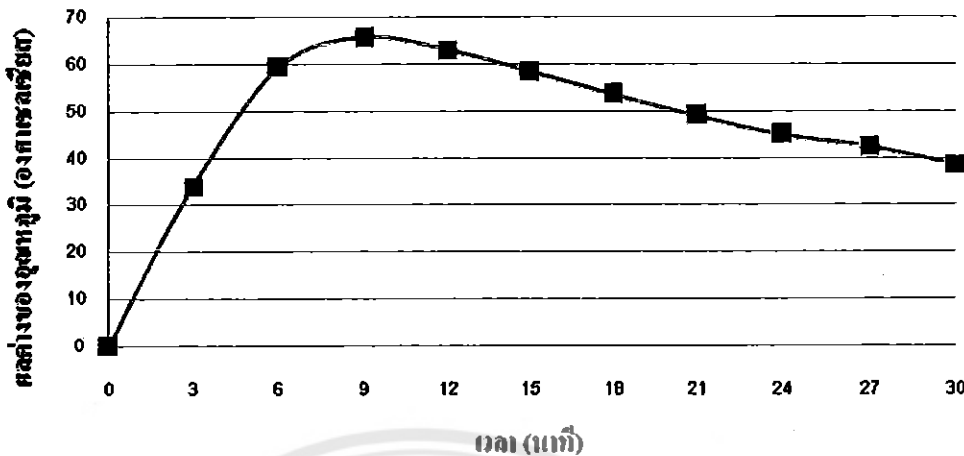
จากผลการทดลองตั้งตาราง ก.4 จากภาคผนวก ก เมื่อนำมาสร้างเป็นกราฟ เพื่อต้องการเห็น ความเปลี่ยนแปลงอุณหภูมิของระบบอุกสูบกำลัง อุณหภูมิของระบบอุกสูบໄล' และความเร็วชนเมื่อ เวลาผ่านไป ซึ่งจะได้ดังรูปที่ 4.2 ถึง รูปที่ 4.5



รูปที่ 4.2 ความสัมพันธ์ระหว่างเวลาและอุณหภูมิของระบบอุกสูบกำลัง (T_H)

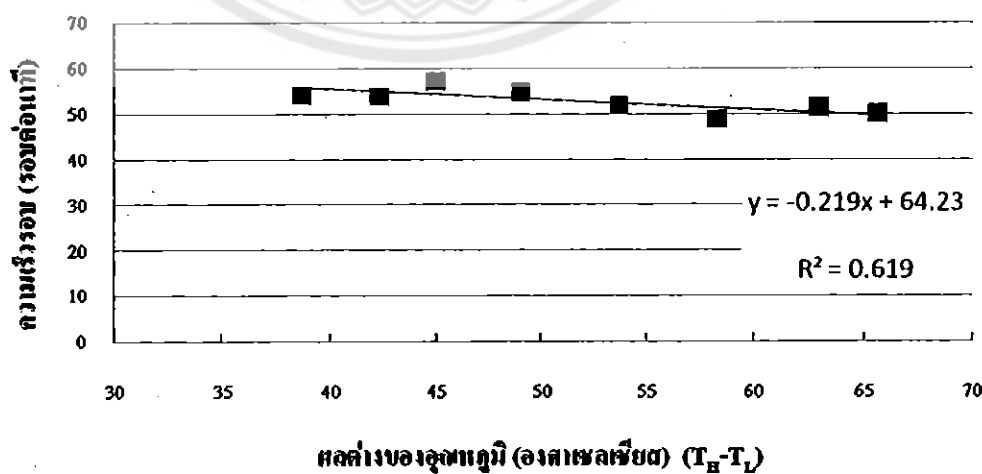


รูปที่ 4.3 ความสัมพันธ์ระหว่างเวลาและอุณหภูมิของระบบอุกสูบໄล' (T_L)



รูปที่ 4.4 ความสัมพันธ์ระหว่างเวลาและผลต่างของอุณหภูมิ ($T_H - T_L$)

จากปีที่ 4.2 ถึงปีที่ 4.4 จะเห็นได้ว่า ในช่วงที่เครื่องยนต์ขึ้นไม่ทำงานนั้นอุณหภูมิของระบบอุกสูบกำลังจะมีค่าเพิ่มขึ้น เพราะว่าเป็นช่วงที่มีการให้ความร้อนแก่ระบบอุกสูบกำลัง ส่วนอุณหภูมิของระบบอุกสูบໄลับขึ้นเมื่อจากขึ้นไม่มีการแลกเปลี่ยนความร้อนเกิดขึ้น จึงทำให้ผลต่างของอุณหภูมนี้มีค่าสูงขึ้นจนถึงนาทีที่ 9 ซึ่งเป็นจุดที่อุณหภูมิของระบบอุกสูบกำลังนั้นเริ่มเป็นค่าคงที่ แต่อุณหภูมิของระบบอุกสูบໄลับขึ้นเมื่อเท่าเดิม จึงทำให้ผลต่างของอุณหภูมนี้มีค่าสูงสุด หลังจากนั้นเมื่อเครื่องยนต์เริ่มทำงานจะเห็นได้ว่าอุณหภูมิของระบบอุกสูบกำลังขึ้นคงที่อยู่ แต่อุณหภูมิของระบบอุกสูบໄลับนั้นมีค่าเพิ่มขึ้นเมื่อเวลาเพิ่มมากขึ้น จึงทำให้ผลต่างของอุณหภูมนี้มีค่าลดลง



รูปที่ 4.5 ค่าเฉลี่ยของความสัมพันธ์ระหว่างผลค่างของอุณหภูมิและความเร็วอน

จากข้อที่ 4.5 จะเห็นว่าเมื่อผลต่างของอุณหภูมิเพิ่มขึ้น ความเร็วรอบมีแนวโน้มลดลง เส้นน้อย เมื่อจากในขณะที่น้ำเดือดนั้นมีปริมาณที่สูงขึ้นจึงทำให้เกิดการไหลเข้ามาภายในห้องซึ่งส่งผลต่อกำลังของอากาศที่จะไปดันให้ระบบอกรสูบเคลื่อนที่ได้ลดน้อยลง

4.2 ผลการคำนวณประสิทธิภาพทางความร้อนของเครื่องยนต์สเตอร์ลิง

การคำนวณหาประสิทธิภาพทางความร้อน โดยใช้ผลการทดลองเฉลี่ยค้างตารางที่ 4.1

ตารางที่ 4.1 ผลการทดลองเฉลี่ย

เวลา (นาที)	0	3	6	9	12	15	18	21	24	27	30
อุณหภูมิระบบอกรสูบกำลัง (K)	304	338	363	371	371	371	372	372	372	372	372
อุณหภูมิระบบอกรสูบໄด่ (K)	304	304	304	305	308	313	318	323	327	329	333

$$\text{คำนวณค่าประสิทธิภาพทางความร้อนได้จาก } \eta_{tb} = 1 - \frac{T_L}{T_H}$$

ตัวอย่าง การคำนวณค่าประสิทธิภาพทางความร้อน

ค่าประสิทธิภาพทางความร้อนในนาทีที่ 12

อุณหภูมิระบบอกรสูบกำลังเท่ากับ 371 K

อุณหภูมิระบบอกรสูบໄด่เท่ากับ 308 K

จากสมการ

$$\eta_{tb} = 1 - \frac{T_L}{T_H}$$

แทนค่า

$$\eta_{tb} = 1 - \frac{308}{371}$$

$$\eta_{tb} = 1 - 0.83$$

$$\eta_{tb} = 0.17$$

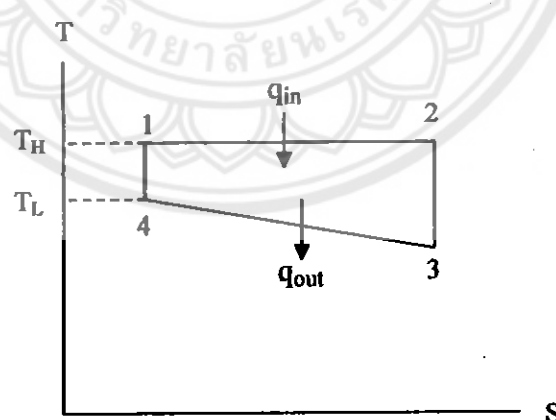
เพรากะนั้นจะได้ค่าประสิทธิภาพทางความร้อนในนาทีที่ 12 เท่ากับ 0.17 หรือ 17%

ตารางที่ 4.2 ประสิทธิภาพทางความร้อน

เวลา (นาที)	0	3	6	9	12	15	18	21	24	27	30
อุณหภูมิระบบอุ่นกำลัง (K)	304	338	363	371	371	371	372	372	372	372	372
อุณหภูมิระบบอุ่นໄด (K)	304	304	304	305	308	313	318	323	327	329	333
ประสิทธิภาพทางความร้อน	0	0.1	0.16	0.18	0.17	0.16	0.15	0.13	0.12	0.12	0.1

จากการคำนวณจะได้ค่าเฉลี่ยของประสิทธิภาพทางความร้อนเท่ากับ 0.13 หรือ 13 เปอร์เซ็นต์ ซึ่งเป็นประสิทธิภาพทางความร้อนน้อยกว่าในช่วงระยะเวลา 30 นาทีที่ทำการทดลอง

จากตารางที่ 4.2 จะเห็นได้ว่าประสิทธิภาพค่าสูงสุดที่ 18 เปอร์เซ็นต์ ในนาทีที่ 9 แต่หลังจากนาทีที่ 9 ขึ้นไปจะเห็นว่าค่าประสิทธิภาพจะลดลง เนื่องจากความร้อนมีการสูญเสียให้กับกระบวนการการกลั่นตัวของไอน้ำ และไม่มีตัวกักเก็บความร้อน (regenerator) ทำให้เกิดการสูญเสียความร้อนที่จะนำกลับมาใช้ในกระบวนการกรองต่อไปซึ่งสามารถดูได้จากรูปที่ 4.6



รูปที่ 4.6 แผนภาพ T – S diagram ของผลการทดลองเฉลี่ยโดยประมาณ

รูปที่ 4.6 จะแสดงถึงการเพิ่มขึ้นของอุณหภูมิของระบบอุ่น ไม่แต่ อุณหภูมิของระบบอุ่นกำลังจะมีค่าคงที่ซึ่งจะทำให้มีผลต่างของอุณหภูมิที่ลดลงและส่งผลให้แนวโน้มของค่าประสิทธิภาพทางความร้อนลดลง

บทที่ 5

วิเคราะห์และสรุปผลการทดลอง

5.1 วิเคราะห์ผลการทดลอง

จากการสร้างแบบจำลองเครื่องบินค์สเตอร์ลิง และทำการทดสอบการหมุนของเครื่องบินค์สเตอร์ลิงเมื่อให้ความร้อนแก่เครื่องบินค์ พนว่าเครื่องบินค์สามารถทำงานได้ ซึ่งความเร็วรอบที่ได้จากทำการทดลองจะมีค่าอยู่ในช่วง 52-57 รอบ/นาที โดยความเร็วบนนั้นจะลดลงเล็กน้อย เมื่อผลต่างของอุณหภูมิเพิ่มขึ้น ประสิทธิภาพทางความร้อนมีค่าเท่ากับ 14 ± 4 เปอร์เซ็นต์ ส่วนอีก 86 เปอร์เซ็นต์นั้นเกิดจากการสูญเสียพลังงานความร้อนระหว่างในกระบวนการ ซึ่งเกิดจากการที่น้ำเข้าไปในห้องไอน้ำร้อนที่ให้ผลผ่านห้องทำให้ไอน้ำเกิดการคลั่นตัว สร้างให้ปริมาณการไหลของไอน้ำ แรงดันของไอน้ำที่ใช้ในการดันระบบออกสูบ และการถ่ายเทพลังงานจะลดน้อยลง ซึ่งเป็นไปตามกฎข้อที่ 2 ของเทอร์โนไคนามิกส์ ที่กล่าวว่า ความร้อนทั้งหมดที่ถ่ายไอน้ำความร้อนมาจากแหล่งส่งความร้อนจะไม่สามารถเปลี่ยนไปเป็นงานได้ทั้งหมด เพราะจะเกิดความร้อนหรือพลังงานที่สูญเสียภายในระบบ และเมื่อเปรียบเทียบกับประสิทธิภาพของเครื่องบินค์สเตอร์ลิงประเภทอื่นๆ เช่น เครื่องบินค์สเตอร์ลิงที่มีอุกสูบกำลังขนาด 9.7 cc และ Displacer ขนาด 387.9 cc มีอัตราส่วนการอัตราหัวว่าง Displacer และอุกสูบกำลังเป็น 40:1 ใช้ตะเกียงแยกออกออล์ฟีนเหลล่งให้ความร้อน การทดสอบพบว่าในขณะที่เครื่องบินค์ไร้ภาระมีความเร็วรอบสูงสุด 97.8 rpm โดยมีความแตกต่างของอุณหภูมิ 58 องศาเซลเซียส และประสิทธิภาพทางความร้อน 15.549 % [9] เครื่องบินค์สเตอร์ลิงที่ใช้พลังงานแสงอาทิตย์ผลิตไฟฟ้า โดยใช้กระจุกที่มีเส้นผ่าศูนย์กลางประมาณ 11 เมตรจะทำให้อุณหภูมิของจุดไฟกัสเพิ่มขึ้นได้ถึง 720 องศาเซลเซียส และประสิทธิภาพที่ได้ของระบบได้ 29 เปอร์เซ็นต์ [10] ด้วยเหตุนี้สามารถที่จะนำไปใช้เป็นเครื่องต้นแบบของเครื่องบินค์ที่นำໄไปใช้ในการปั้นไฟฟ้า อย่างไรก็ตามจากเครื่องต้นแบบที่ได้ประดิษฐ์ขึ้นนี้ขอจำกัดที่ว่าค่าประสิทธิภาพที่ได้ค่อนข้างจะต่ำ เนื่องจากเกิดการสูญเสียพลังงานความร้อนไปกับไอน้ำที่คลั่นตัวในห้องสากและความไม่เสถียรของอุณหภูมิกระบวนการออกสูบกำลัง

และระบบอกรสูบໄล ทั้งนี้สามารถแก้ไขได้โดยการนำตัวกักเก็บความร้อน (regenerator) มาใช้กับเครื่องยนต์สเตอร์ลิง

จากการทดลองจะพบว่าเครื่องยนต์สามารถทำงานได้แต่เนื่องจากความเร็วรอบขั้งไม่เพียงพอต่อการนำไปใช้ประโยชน์ในการผลิตกระแสไฟฟ้าได้ จึงต้องมีการแก้ไขข้อผิดพลาดต่างๆ เช่น การสูญเสียความร้อน เป็นต้น ซึ่งนำไปสู่แนวทางการวิจัยต่อไป

5.2 แนวทางการทำวิจัยในอนาคต

ในการพัฒนาเครื่องยนต์ประเภทนี้ควรทำการทดลองโดยใช้ตัวกักเก็บความร้อนเข้าไปในห้อง และทำการทดลองโดยใช้เครื่องยนต์ประเภทแกนหมาดและเบต้า รวมทั้งการเพิ่มช่วงของผลต่างอุณหภูมิให้มีช่วงที่กว้างขึ้น ซึ่งจะทำให้เห็นแนวโน้มของราฟเฟอหัวใจผลต่างของอุณหภูมิกับความเร็วรอบที่หัวใจเดินขึ้น และการใช้เครื่องมือวัดความเร็วรอบคันอุณหภูมิที่มีประสิทธิภาพ ส่วนการใช้พลังงานแสงอาทิตย์หรือพลังงานชีวนมวลเป็นเชื้อเพลิง เช่น แกลน ไนโอล ฟางข้าว หรือกะลาปัลน เป็นต้น เพื่อลดต้นทุนค่าใช้จ่ายทางด้านการใช้เชื้อเพลิง ส่วนการใช้พลังงานแสงอาทิตย์นั้น จะต้องออกแบบอุปกรณ์ที่ใช้ในการรวมแสงเพื่อให้ความร้อนกับน้ำภายในระบบอกรสูบกำลัง

การใช้ปีโตรเลียมเหลว (LPG) เป็นเชื้อเพลิงในการทดลองเป็นการถือเป็นการถือเป็นขั้นสูง แต่ถ้าใช้พลังงานชีวนมวลเป็นเชื้อเพลิง ซึ่งคุ้นเคยต่อตาก 5.1 ที่จะต้องใช้ในปริมาณที่เพิ่มมากขึ้นเมื่อเทียบกับค่าความพลังงานความร้อน (Heating Value) ของก๊าซปีโตรเลียมเหลว เพื่อที่จะให้ได้ค่าพลังงานความร้อนที่เท่ากัน

ตารางที่ 5.1 การเปรียบเทียบค่าพลังงานความร้อนของพลังงานชีวนมวล

ชนิดเชื้อเพลิง	ค่าพลังงานความร้อน (kJ/kg)	ปริมาณที่ใช้เมื่อเทียบกับก๊าซปีโตรเลียมเหลว (kg)
ก๊าซปีโตรเลียมเหลว (LPG)	49296.3	1
แกลน	14400	3.42
ฟางข้าว	12990	3.79
ไนโอล	16136.5	3.05
กะลาปัลน	17583.5	2.80
เปลือกไข่มุกคาลิปตัส	5864	8.41
ข้าวเปลือก	10880	4.53

จากตารางที่ 5.1 เมื่อ ค่าพลังงานความร้อนของก๊าซปีโตรเลียมเหลวเท่ากับ 49296.3 kJ/kg
โดยที่ ปริมาตร 1 ลิตรของก๊าซปีโตรเลียมเหลวเท่ากับน้ำหนัก 0.54 กิโลกรัม

ตารางที่ 5.2 การเปรียบเทียบค่าใช้จ่ายเมื่อค่าพลังงานความร้อนเท่ากัน

ชนิดเชื้อเพลิง	ราคา (บาทต่อกิโลกรัม)	จำนวนที่ใช้มือเทียบ กับก๊าซปีโตรเลียม เหลว (kg)	ค่าใช้จ่ายเมื่อค่า พลังงานความร้อน ที่เท่ากัน (บาท)
ก๊าซปีโตรเลียมเหลว (LPG)	12	1	12
แก๊ส	0.4	3.42	1.37
ฟางข้าว	1.13	3.79	4.28
ใบอ้อบ	0.5	3.05	1.53
กะลาปาล์ม	2	2.80	5.60
เปลือกไม้ยูคาลิปตัส	0.35	8.41	2.94
ขี้เดือย	1.6	4.53	7.25

จากตารางที่ 5.1 และตารางที่ 5.2 จะเห็นว่าพลังงานชีวนะที่ให้ค่าพลังงานความร้อน ใกล้เคียงกับค่าพลังงานความร้อนของก๊าซปีโตรเลียมเหลวคือ กะลาปาล์ม ซึ่งจะส่งผลให้ใช้ปริมาณ ของเชื้อเพลิงได้จำนวนน้อยที่สุด แต่เมื่อเปรียบเทียบในราคายังคงเท่ากันแล้วจะพบว่า กะลาปาล์มมีค่าใช้จ่ายที่สูงกว่าแก๊ส เมื่อมีค่าพลังงานความร้อนที่เท่ากัน ดังนั้นจึงทำให้แก๊สเป็น พลังงานทางเลือกอีกทางหนึ่งที่จะนำมาใช้แทนก๊าซปีโตรเลียมเหลว (LPG) เพื่อลดต้นทุนในการ ผลิตพลังงาน

ในส่วนของล้อช่วยแรง (Fly wheel) จะต้องทำการหาโนเมนต์ความเร็วเพื่อที่จะทำให้ ทราบถ่านนาคของล้อช่วยแรงและทำการออกแบบได้อย่างเหมาะสม เพื่อที่จะทำให้เครื่องยนต์ สามารถทำงานได้ตามความต้องการว่าจะให้เครื่องยนต์มีความสามารถทางด้านความเร็วรอบ หรือ แรงบิดที่เพิ่มขึ้น

จากนั้นทำการทดลองออกแบบเครื่องยนต์สเตอร์ลิงแบบ เบต้า (Beta type) และแบบ แกรมมา (Gamma type) เพื่อเปรียบเทียบว่าเครื่องยนต์ชนิดใดให้ประสิทธิภาพ ความเร็วรอบและ กำลังมากกว่ากัน ซึ่งจะนำไปสู่กระบวนการเดือกใช้เครื่องยนต์ให้ตรงกับความต้องการมากที่สุด

5.3 สรุปการทดลอง

การทดลองเครื่องยนต์สเตอร์ลิงจะทำงานได้กีต่อเมื่อมีความร้อนให้แก่เครื่องยนต์ในระดับหนึ่งโดยที่ความเร็วอบจะมีค่าค่อนข้างคงที่แต่ประสิทธิภาพทางความร้อนของเครื่องยนต์มีค่าลดลงบ้าง เนื่องจากการทำงานของเครื่องยนต์แบบสเตอร์ลิงโดยไม่นีตัวกักเก็บความร้อน (regenerator) ทำให้ผลต่างของอุณหภูมิระหว่างระบบอกรถูบกำลังกับระบบออกสูบไม่ลดลงและไม่เสียบรากพ ซึ่งการสูญเสียประสิทธิภาพทางความร้อนส่วนหนึ่งมาจากการความร้อนที่สูญเสียไปกับกระบวนการกรดันตัวของไอน้ำภายในห้องเผาความร้อนออกสู่ดึงเวลาล้อม จึงทำให้ความร้อนที่สะสมอยู่ในไอน้ำส่งผ่านมาสัมภาระที่ไอน้ำสัมผัสกับห้องเผา

5.4 ข้อเสนอแนวทางเทคนิค

ในการประกอบชิ้นงานทุกชิ้น ไม่ว่าจะเป็นการเชื่อมข้อต่อห้องเผา ประกอบโครงไม้รวมไปถึงการวางแผนของแกนเพลา กับแกนลูกสูบให้ตรงกับระบบอกรถูบที่ขีดอยู่กับโครงไม้ ควรที่จะประกอบชิ้นงานให้มีความแม่นยำสูง เพราะถ้าหากประกอบชิ้นงานไม่ดีจะทำให้มีผลกระทบต่อกระบวนการทำงานของเครื่องยนต์และความเร็วอบในการหมุนของแกนเพลา

ส่วนของการทดลองในการเดินนำ้ลังไปในระบบอกรถูบควรระวังไม่ให้ระดับน้ำสูงเกินกว่าห้องท่อที่พื้นเข้าไปในระบบอกรถูบ เนื่องจากเวลาที่นำ้เดือดน้ำจะมีระดับที่สูงขึ้นอีกซึ่งจะทำให้น้ำล้นเข้าไปในห้องท่อ จะส่งผลให้ไอน้ำมีการถ่ายเทพลังงานที่ลดลง และถ้าปริมาณของน้ำที่อยู่ในห้องเผาเกินไปให้น้ำจุกยางออกเพื่อรับน้ำที่อยู่ภายในห้องเผาในห้องอกรถูบ และทำการทดลองโดยใส่ห้องกักเก็บความร้อน (regenerator) เข้าไปในเครื่องยนต์สเตอร์ลิงเพื่อกักเก็บความร้อนไว้ใช้ในขณะที่ พลังงานความร้อนถ่ายเทกลับมาจากระบบอกรถูบໄล ซึ่งช่วยในการเพิ่มอุณหภูมิให้สูงได้ไวขึ้นเมื่อไอน้ำไหลกลับเข้าสู่ระบบอกรถูบกำลัง และเป็นการลดการสูญเสียพลังงานความร้อนอีกทางหนึ่ง

ส่วนน้ำหนักของล้อช่วยแรง (flywheel) ควรที่จะให้มีความเหมาะสมกับแกนเพลา เพราะน้ำหนักของล้อช่วยแรงที่มากเกินไปจะทำให้แกนเพลาเกิดการไถ่งอย่างจะทำให้เสียความสมดุลของระบบ รวมทั้งขนาดของเส้นผ่าศูนย์กลางของล้อช่วยแรงก็มีผลกระทบต่อการหมุนของเครื่องยนต์สเตอร์ลิงด้วย เมื่อจากในการที่เครื่องยนต์จะสามารถทำงานในครั้งแรกได้นั้นจะต้อง

อาศัยแรงเหวี่ยงของล้อช่วยแรงเข้ามาช่วยในการเริ่นต้นกระบวนการ หลังจากนั้นจะมีแรงเฉื่อยช่วยในกระบวนการต่อไป

ท่อที่ให้อิน้ำไหลผ่านควรทำการทุบจนวนเพื่อป้องกันการนำความร้อนที่สะสมอยู่ในไอ้น้ำไปแตกเปลี่ยนกับบรรยากาศและลดการสูญเสียความร้อนไปให้แก่สิ่งแวดล้อม



บรรณานุกรม

- [1] สมชาย อัครพิวาระและขวัญจิตรา วงศ์ชารี. เทอร์โนไคนามิกส์กงเทพ: บริษัท สำนักพิมพ์ ทีโอปี จำกัด, 2546
- [2] I Urieli, D M Berchowitz. Stirling Cycle Engine Analysis (Cited 13 March 2006), 1984
- [3] D.G. Thombare, S.K. Verma and Dr. Babasaheb Ambedkar Technological development in the Stirling cycle engines; Department of Mechanical Engineering, Rajarambapu Institute of Technology, Rajaramnagar, Sakharale,Sangli 415414, Maharashtra, India ,Department of Mechanical Engineering Technological University, Lonere 402103, Raigad, Maharashtra, India
- [4] William Gurstel. Two-can stirling engine.
- [5] พต.รช.บ.นิมมล. เทอร์โนไคนามิกส์พิมพ์ครั้งที่ 1: สำนักพิมพ์ ส.ส.ท. สมาคมส่งเสริมเทคโนโลยี (ไทย-ญี่ปุ่น), 2546
- [6] พศ.ดร. ชัยนันท์ บุญบรักษ์. เทอร์โนไคนามิกส์: ภาควิชาไฟสิกส์ คณะวิทยาศาสตร์ มหาวิทยาลัยนเรศวร
- [7] สมนึก บุญพาใส่. เครื่องบนต์สเทอලิง เครื่องบนต์สำหรับอนาคต
- [8] Pro.S.L. Bapat. Stirling engine: Department of Energy Science and Engineering Indian Institute of Technology Bombay.
- [9] เฉลิมศักดิ์ ชื่อสัตย์, ธนภูมิ จันทเบศ และวชิระ ใบพุทธ. การทำงานของเครื่องบนต์สเทอร์ ลิงแบบใช้ความแตกต่างของอุณหภูมิต่างๆ. ภาควิชาวิศวกรรมเครื่องกล มหาวิทยาลัย ศรีนครินทร์วิโรฒ องครักษ์
- [10] <http://artsmen.net/content/show.php?Category=technoboard&No=3768>





ภาคผนวก ก

ตาราง ก.1 ผลการทดสอบครั้งที่ 1

เวลา (นาที)	0	3	6	9	12	15	18	21	24	27	30
อุณหภูมิระบบอุ่นสูบ กำลัง (K)	304	333	362	373	373	373	373	373	373	373	373
อุณหภูมิระบบอุ่นสูบได้ (K)	304	304	304	306	309	315	321	326	331	334	336
จำนวนรอบ (rpm)	0	0	0	46	49	46	51	57	62	58	58

ตาราง ก.2 ผลการทดสอบครั้งที่ 2

เวลา (นาที)	0	3	6	9	12	15	18	21	24	27	30
อุณหภูมิระบบอุ่นสูบ กำลัง (K)	304	333	363	371	372	372	372	372	372	372	372
อุณหภูมิระบบอุ่นสูบได้ (K)	304	304	304	305	307	311	316	321	325	327	332
จำนวนรอบ (rpm)	0	0	0	41	55	54	52	54	54	53	52

ตาราง ก.3 ผลการทดสอบครั้งที่ 3

เวลา (นาที)	0	3	6	9	12	15	18	21	24	27	30
อุณหภูมิระบบอุ่นสูบ กำลัง (K)	304	340	365	369	369	370	370	370	370	370	370
อุณหภูมิระบบอุ่นสูบได้ (K)	304	304	304	305	309	314	317	321	324	327	331
จำนวนรอบ (rpm)	0	0	0	52	50	47	53	53	56	51	53

ตาราง ก.4 ผลการทดสอบเฉลี่ย

เวลา (นาที)	0	3	6	9	12	15	18	21	24	27	30
อุณหภูมิกระบวนการอกสูบ กำลัง (K)	304	338	363	371	371	371	372	372	372	372	372
อุณหภูมิกระบวนการอกสูบได้ (K)	304	304	304	305	308	313	318	323	327	329	333
จำนวนรอบ (rpm)	0	0	0	46.3	51.3	49	52	54.6	57.3	54	54.3





	Rice husk ແກສນ	Rice straw ໜ້າເງົາ	Bagasse ຫມາດ້ວຍ	Cane trash ໄມເຊີຍ	Parawood ຝັກທາງພາວ	Palm fibre ໄຫຍ່ເປົ້າ	Palm shell ກະຕາບຢັ້ງເສັນ
Proximate analysis							
Moisture, %	1.2	10	50.73	9.2	4.5	38.5	12
Ash, %	12.65	10.39	1.43	6.1	1.59	4.42	3.5
Volatile Matter, %	56.46	60.7	41.98	67.8	45.7	42.68	68.2
Fixed Carbon, %	18.88	18.9	5.86	16.9	7.71	14.39	16.3
Ultimate Analysis							
Carbon, %	37.48	38.17	21.33	41.6	25.58	30.82	44.44
Hydrogen, %	4.41	5.02	3.06	5.08	3.19	3.74	5.01
Oxygen, %	33.27	35.28	23.29	37.42	24.48	21.61	34.7
Nitrogen, %	0.17	0.58	0.12	0.4	0.14	0.84	0.28
Sulfur, %	0.04	0.09	0.03	0.17	0.02	0.08	0.02
Chlorine, %	0.09	na	na	0.01	0.01	0.11	0.02
Ash, %	12.65	10.39	1.43	6.1	1.6	4.42	3.52
Moisture, %	12	10	50.73	9.2	4.5	38.5	12
Other Characteristics							
Bulk Density, kg/m ³	150	125	120	100	450	250	400
Higher heating value, kJ/kg	14,755	13,650	9,243	1,6,794	10,365	13,127	18,267
Lower heating value, kJ/kg	13,517	12,330	7,368	1,5,479	8,660	11,400	16,900
Source of data	EFE	Kinoshita	ERI	EFE	Gulf	Songkhla	Gulf

	Palm oil empty bunch	Palm tree	Frond	Cormob	Corn stalk	Tapioca rhizome	Eucalyptus bark
	พะยอมเจริญ	ต้นปาล์ม	หางเสือ	ชิงช้าไทร	สาหร่ายต่างๆ	หลักเม่นฯ	บะกอกไม้เขียว
Proximate analysis							
Moisture, %	58.6	43.4	78.4	40	41.7	59.4	60
Ash, %	2.03	1.2	0.7	0.9	3.7	1.5	2.44
Volatile Matter, %	30.46	38.7	16.3	45.42	46.46	31	28
Fixed Carbon, %	8.9	11.7	4.6	13.68	8.14	8.1	9.56
Ultimate Analysis							
Carbon, %	21.15	23.9	10.13	28.19	27.83	18.76	18.6
Hydrogen, %	2.56	3.04	1.25	3.36	4.06	2.48	2.12
Oxygen, %	15.34	22.91	9.44	27.42	22.47	17.5	16.68
Nitrogen, %	0.27	0.56	0.07	0.12	0.13	0.32	0.15
Sulfur, %	0.04	0.06	0.02	0.03	0.02	0.04	0.02
Chlorine, %	0.16	0.28	0.12	0.05	0.04	0.05	0.1
Ash, %	2.03	1.2	0.7	0.9	3.7	1.5	2.44
Moisture, %	58.6	48.4	78.4	40	41.7	59.4	60
Other Characteristics							
Bulk Density, kg/m ³	380	na	na	na	na	250	na
Higher heating value, kJ/kg	9,196	9,370	3,908	11,298	11,704	7,451	6,811
Lower heating value, kJ/kg	7,240	.7,556	1,760	9,615	9,830	5,494	4,917
Source of data	Songkhla	EFE	EFE	EFE	EFE	EFE	EFE

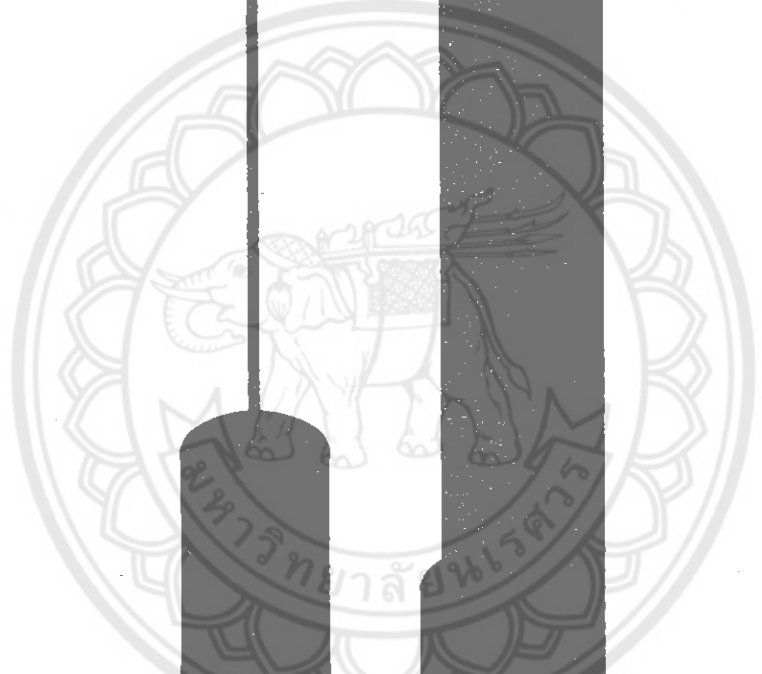
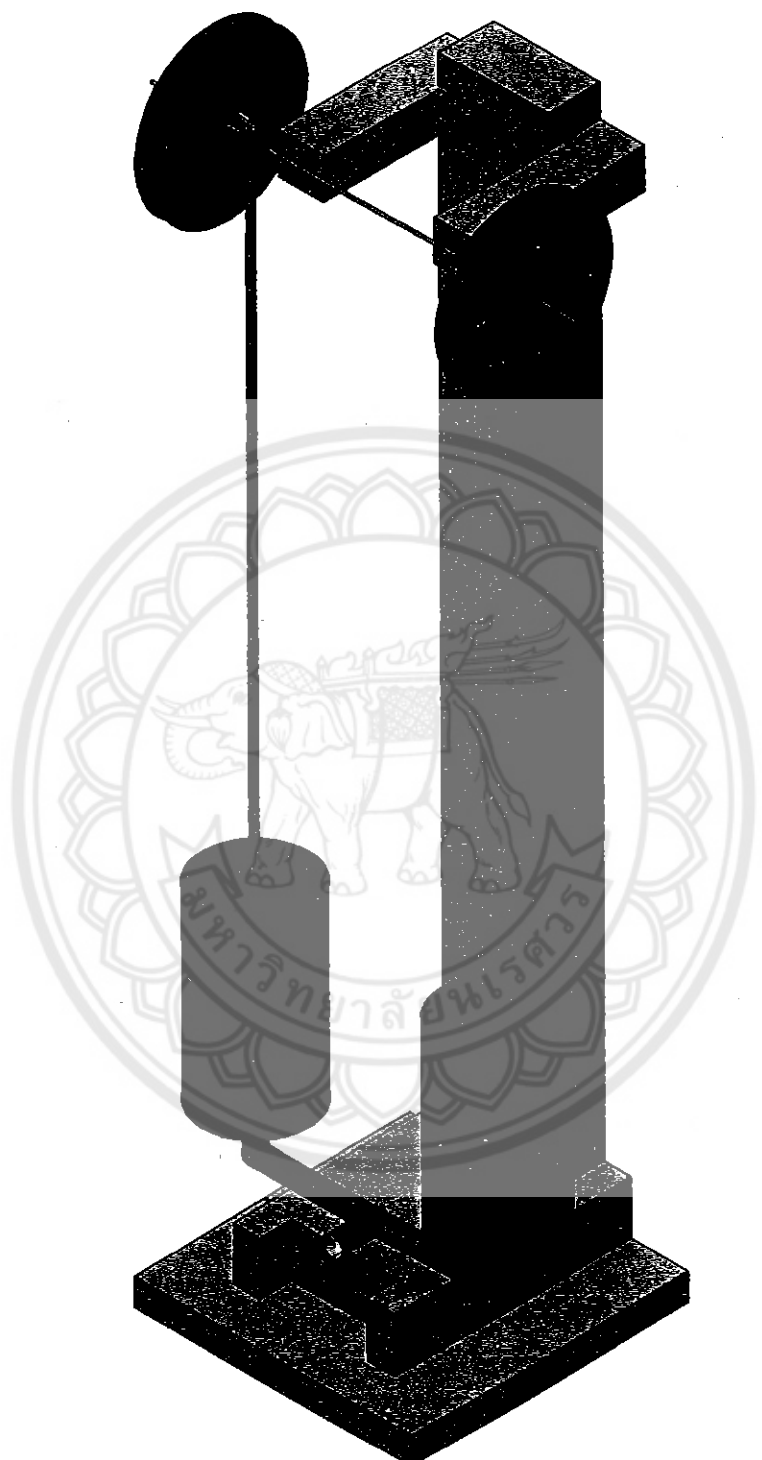
Revision : March 2007

หน่วยงาน ศูนย์วิจัยและพัฒนาเชื้อเพลิงหมู่บ้านที่ดี จังหวัดเชียงราย สำนักงานพัฒนาชุมชน ประเทศไทย

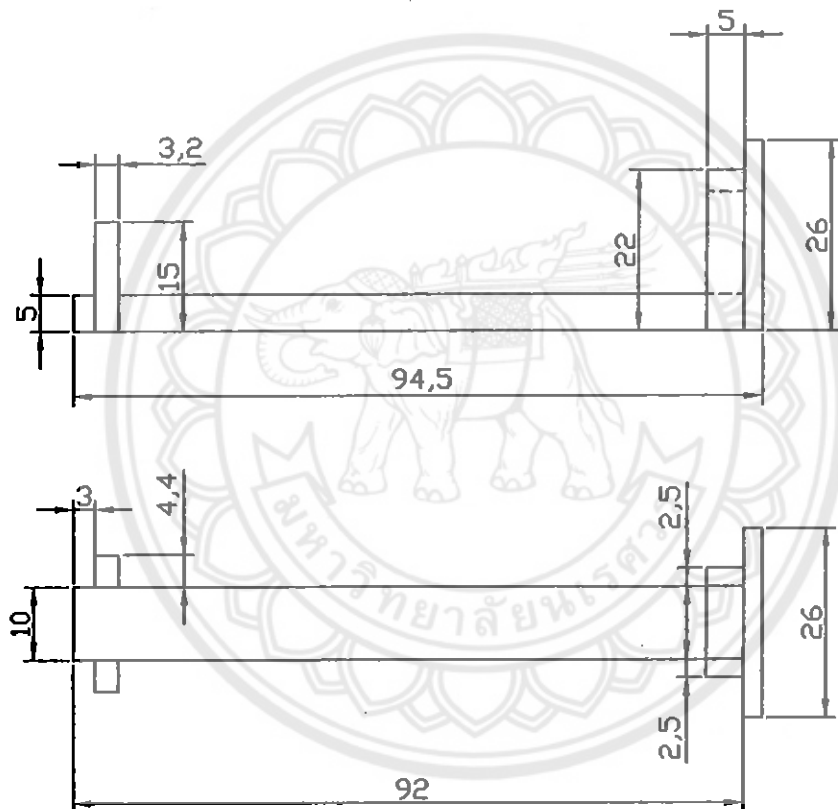
ที่มา : <http://www.efe.or.th/download/BiomassAnalysis.pdf>



1	2	3	4
RevNo	Revision note	Date	Signature Checked
			46



Itemref	Quantity	Title/Name, designation, material, dimension etc			Article No./Reference
Designed by C. Suppachai		Checked by	Approved by - date	File name Stirling Engine	Date 12/08/2551 Scale 1:1
FACULTY OF ENGINEERING NARESUAN UNIVERSITY					Stirling Engine
					1 Edition Sheet 1/1

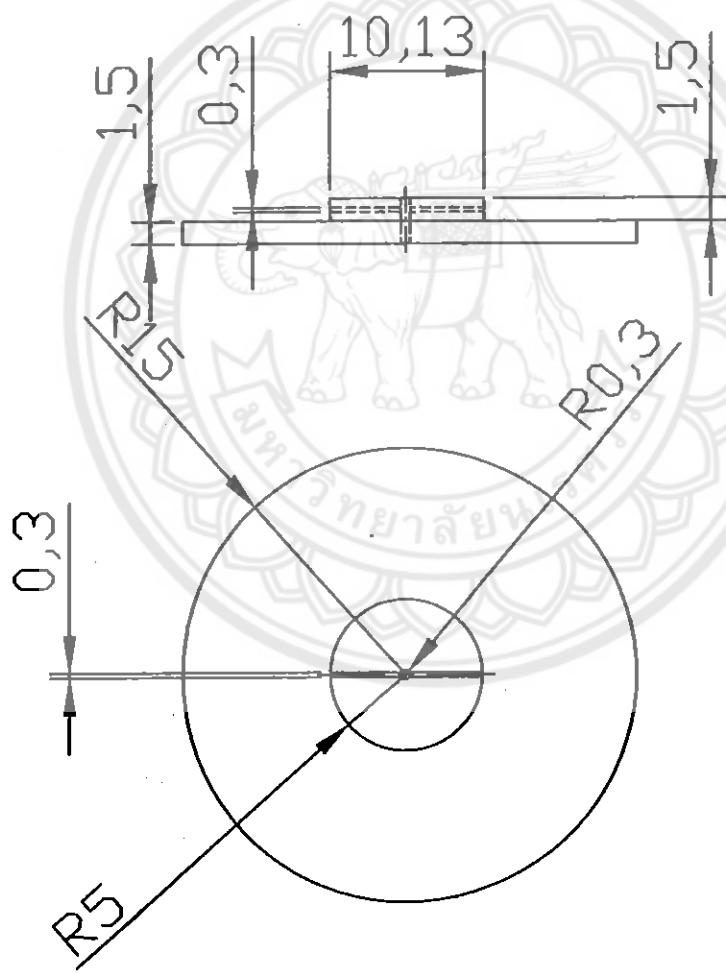


FACULTY OF ENGINEERING
NARESUAN UNIVERSITY

ໂຄງນິ້ມ
BY : P.Siwaroth

Dimention are in centimeters

SCALE : 1:1



FACULTY OF ENGINEERING
NARESUAN UNIVERSITY

ล้อชี้วายแรง (Fly wheel)
BY : P.Siwaroth

Dimention are in centimeters
SCALE : 1:1

ประวัติผู้จัดทำโครงการ

ชื่อ/นามสกุล : นายชรศักดิ์ แก้วเกิด^๑
 วันเกิด : 10 มีนาคม 2529
 ที่อยู่ : 48 หมู่ 2 ต.มะตูม อ.พระนนพิราน จ.พิษณุโลก 65180
 การศึกษา : จบการศึกษาระดับมัธยมศึกษาตอนปลาย จากโรงเรียนพิษณุโลกพิทยาคม
 พิษณุโลก

ชื่อ/นามสกุล : นายศิวะ戎น์ พายพัตร^๒
 วันเกิด : 13 มกราคม 2530
 ที่อยู่ : 101/1 บ้านน้ำชุน อ.หล่มสัก จ.เพชรบูรณ์ 67110
 การศึกษา : จบการศึกษาระดับมัธยมศึกษาตอนปลาย จากโรงเรียนกาญจนากาภิเษก
 วิทยาลัย เพชรบูรณ์

ชื่อ/นามสกุล : นายศุภชัย ชุมนุมวัฒน์^๓
 วันเกิด : 25 เมษายน 2530
 ที่อยู่ : 7/17 บ้านสระหลวง ต.ในเมือง อ.เมือง จ.พิจิตร 66000
 การศึกษา : จบการศึกษาระดับมัธยมศึกษาตอนปลาย จากโรงเรียนจุฬาภรณราช
 วิทยาลัย พิษณุโลก